

中央防災会議
「東南海、南海地震等に関する専門調査会」
(第5回)

図 表 集

平成14年6月12日
中央防災会議事務局

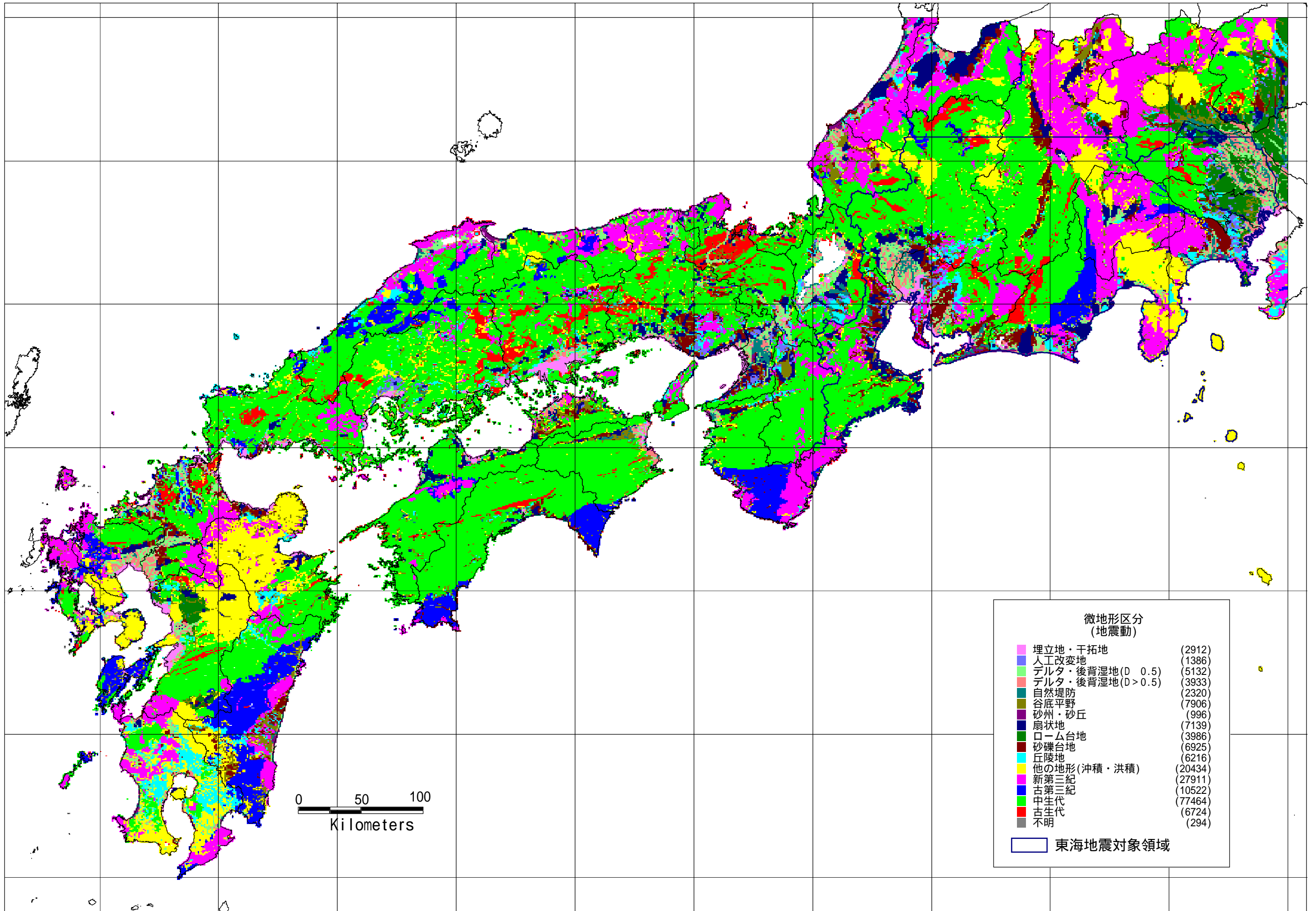


図1 国土数値情報による微地形区分(元データ)

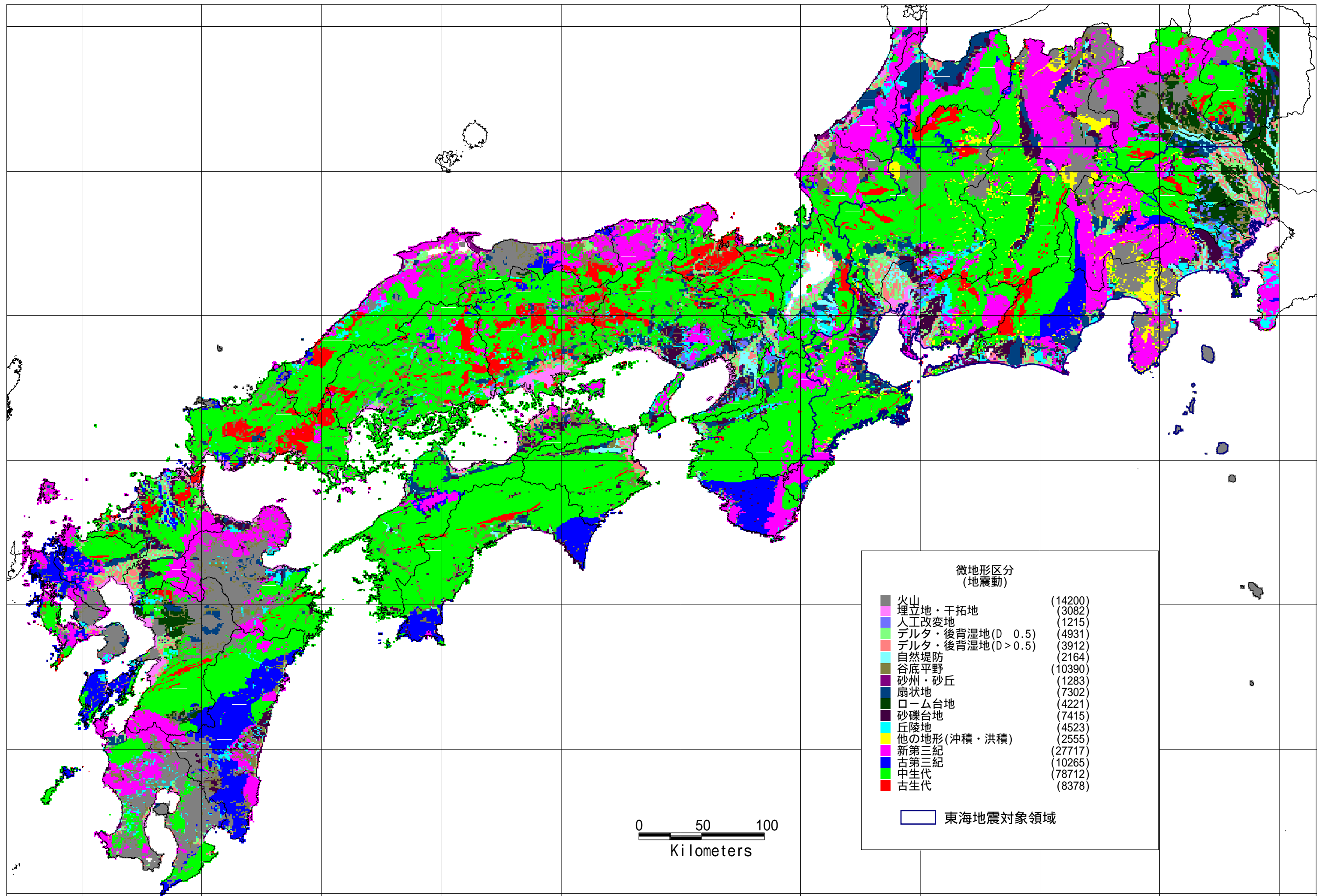


図2 再分類及び見直し・修正した地震動予測のための国土数値情報を用いた微地形区分 (6/6現在)

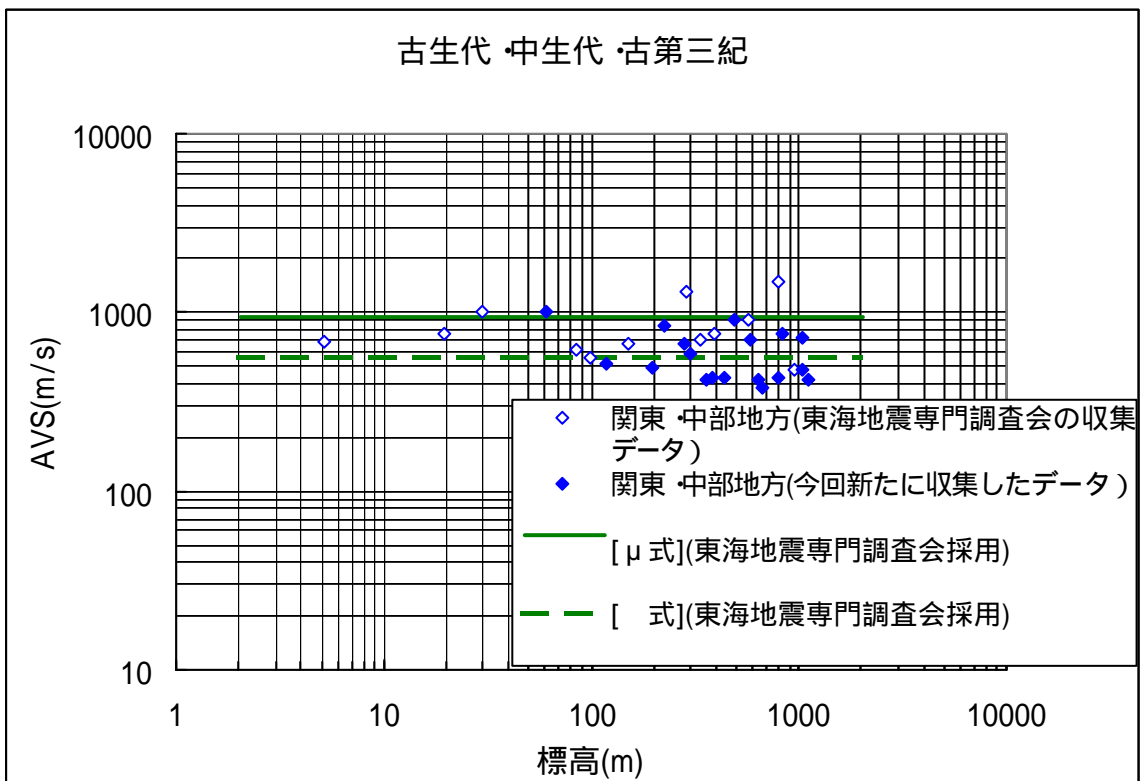
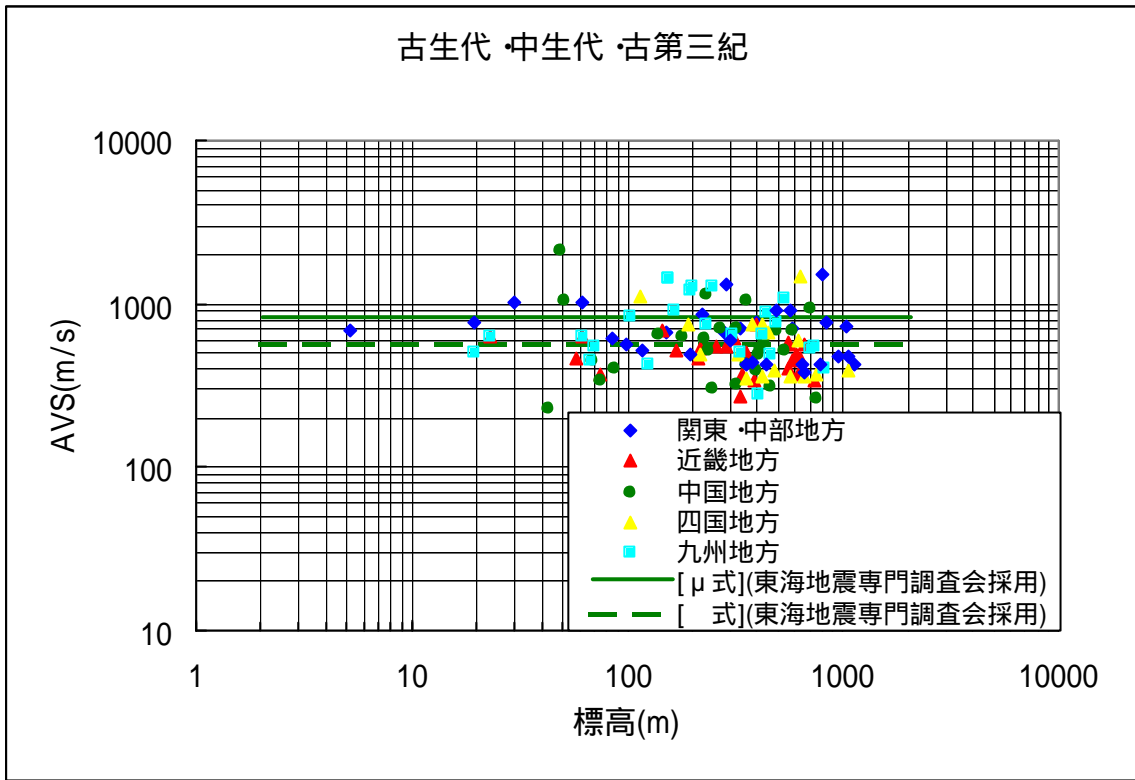


図 - 3 地域別の平均 S 波速度と標高の関係 (1) 古生代・中生代・古第三紀

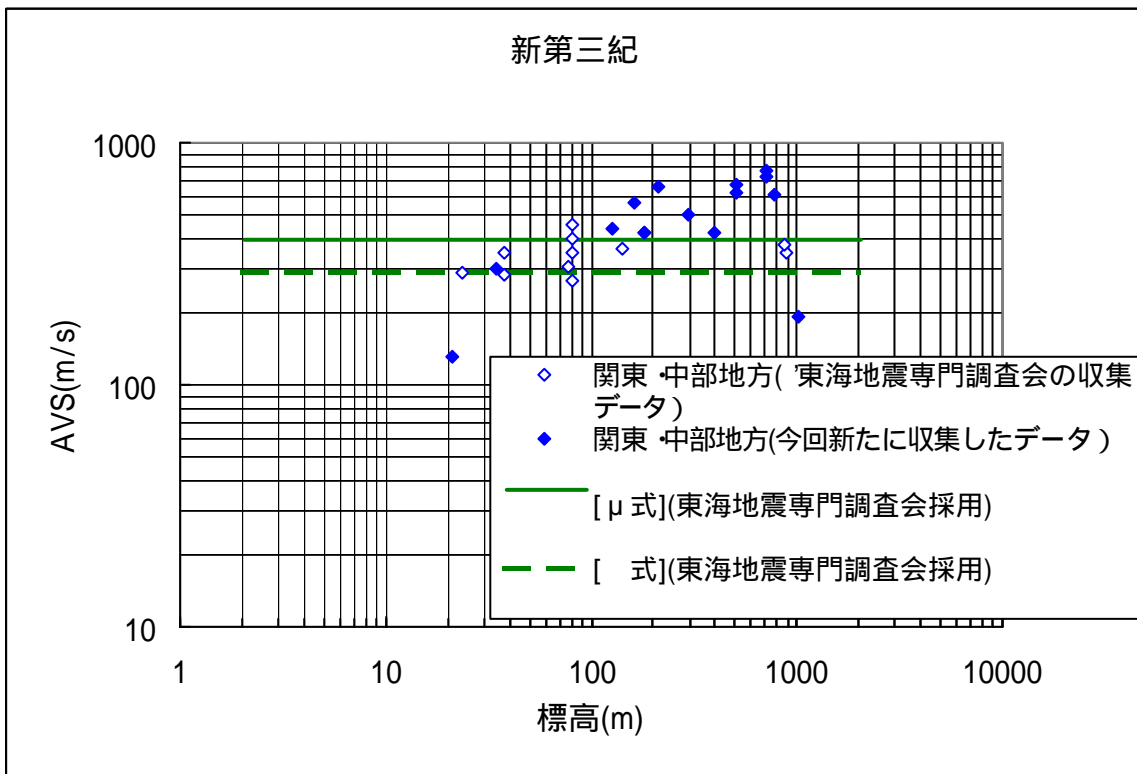
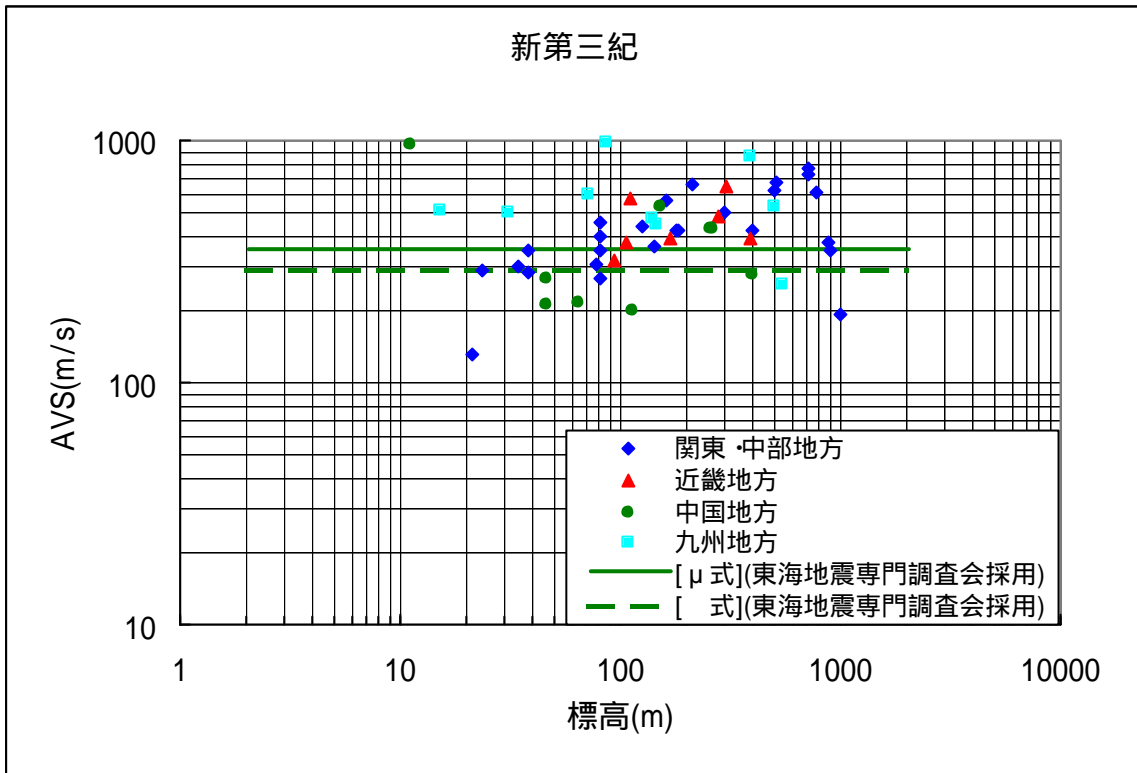


図 - 4 地域別の平均 S 波速度と標高の関係 (2) 新第三紀

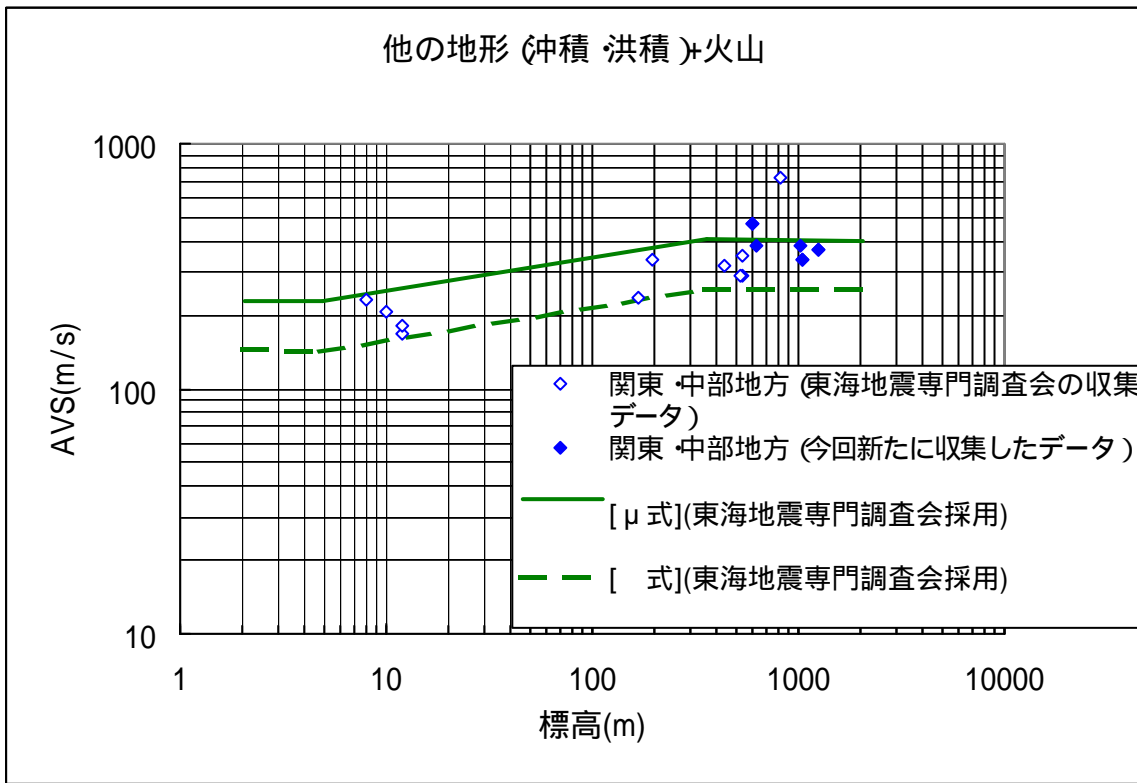
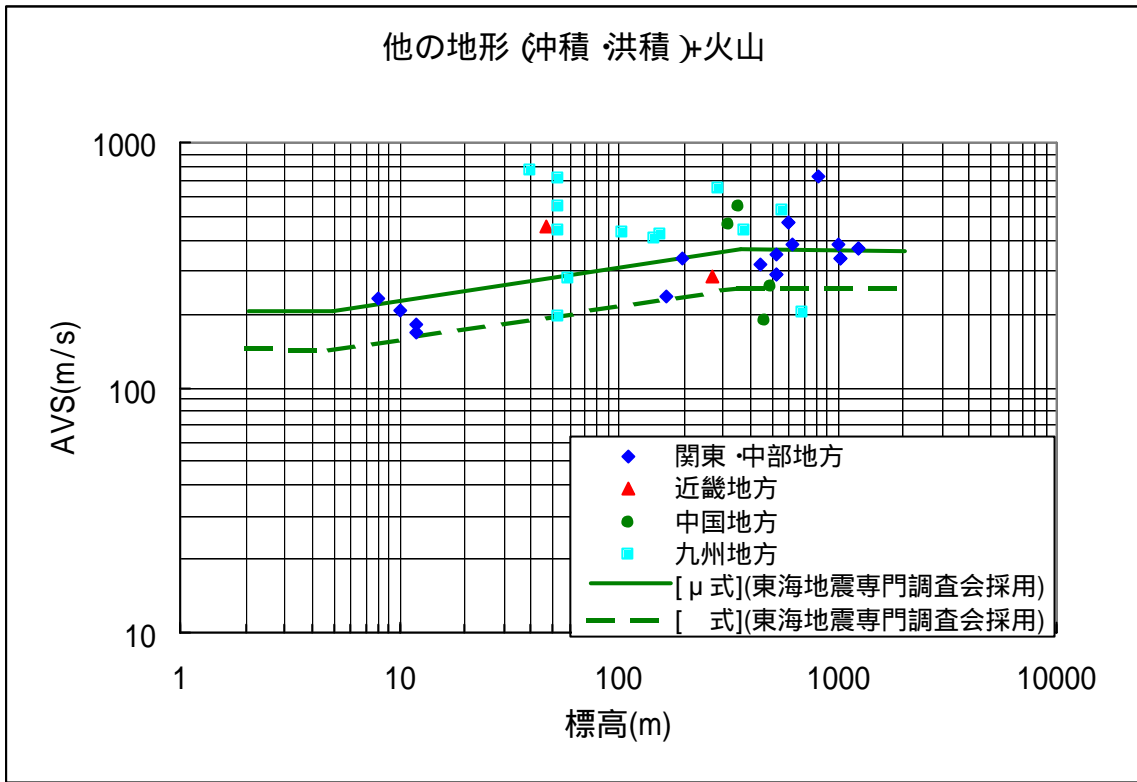


図 - 5 地域別の平均 S 波速度と標高の関係 (3) 他の地形 (沖積 洪積)+火山

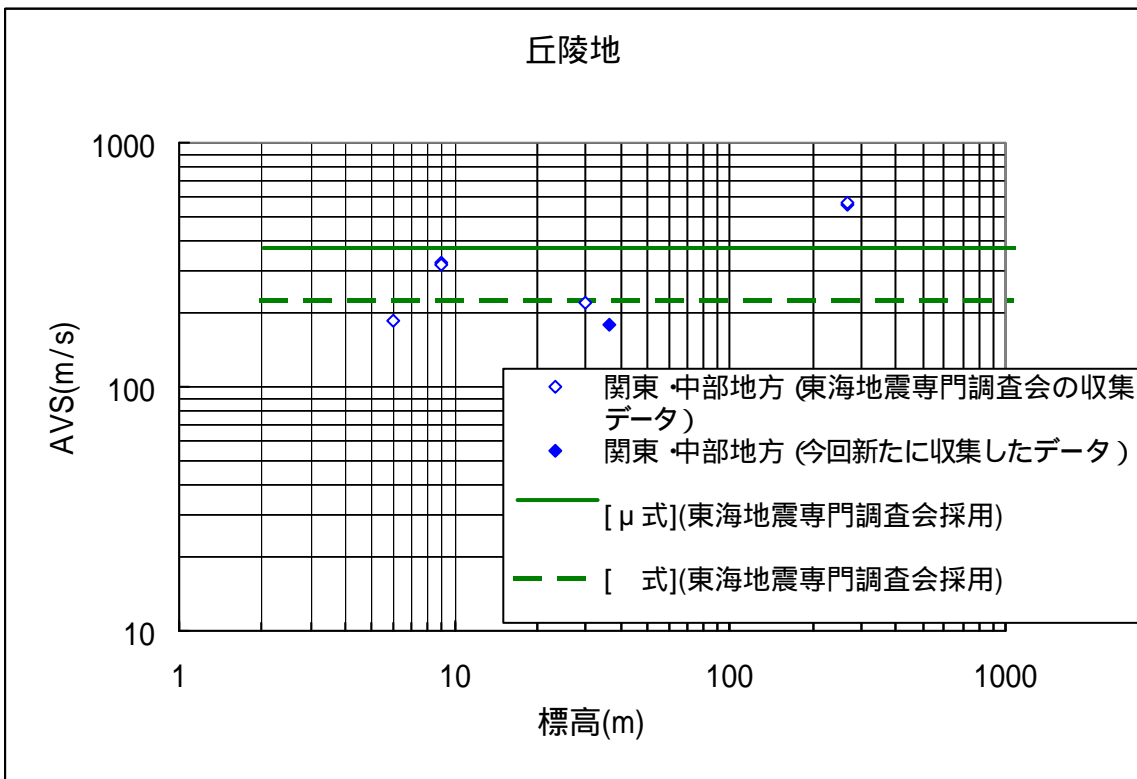
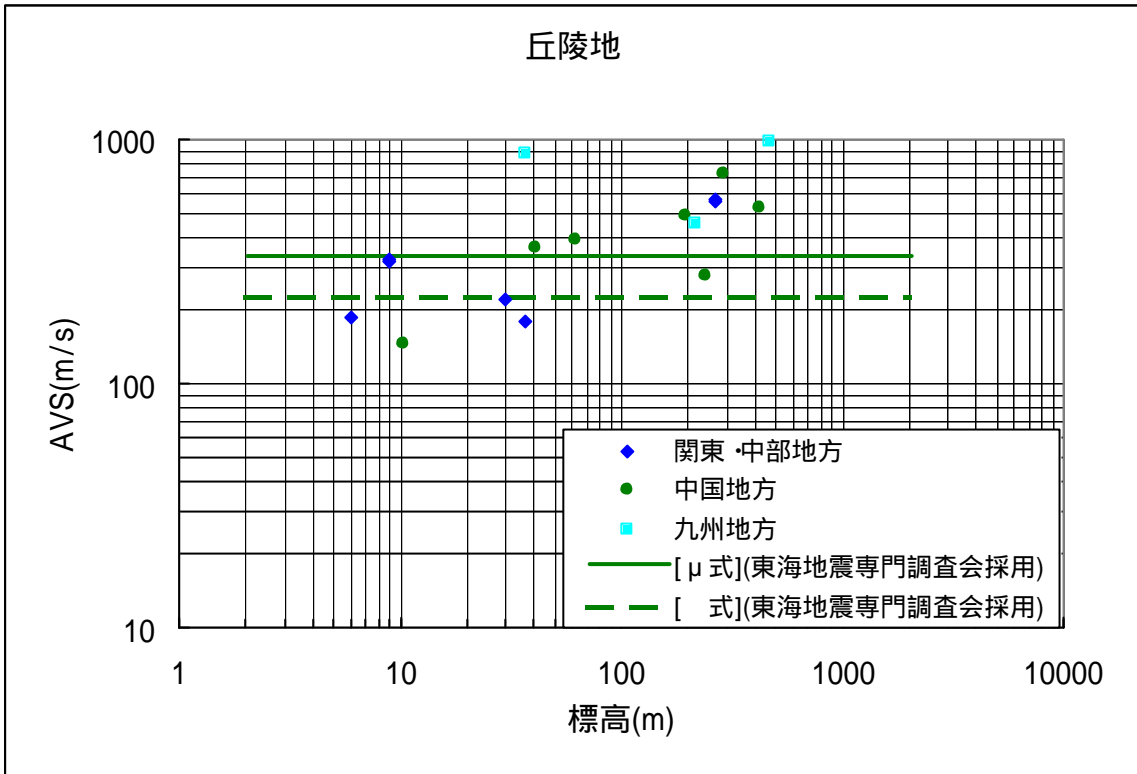


図 - 6 地域別の平均 S 波速度と標高の関係 (4) 丘陵地

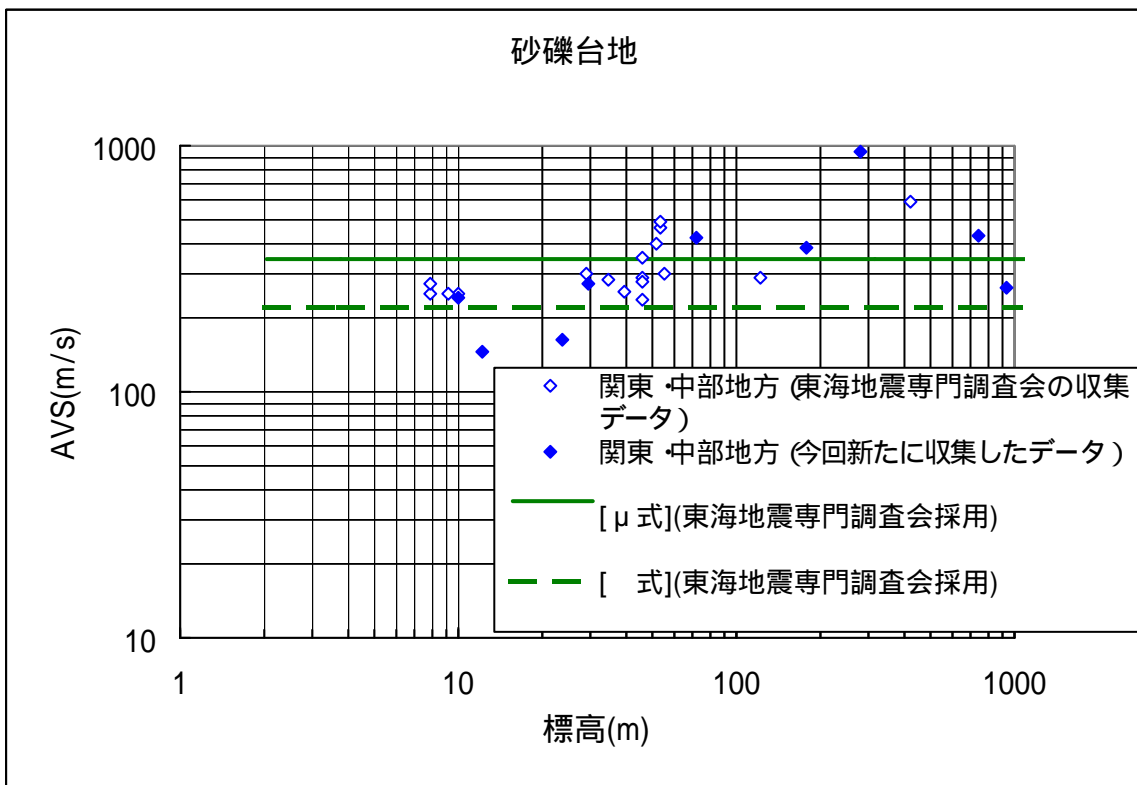
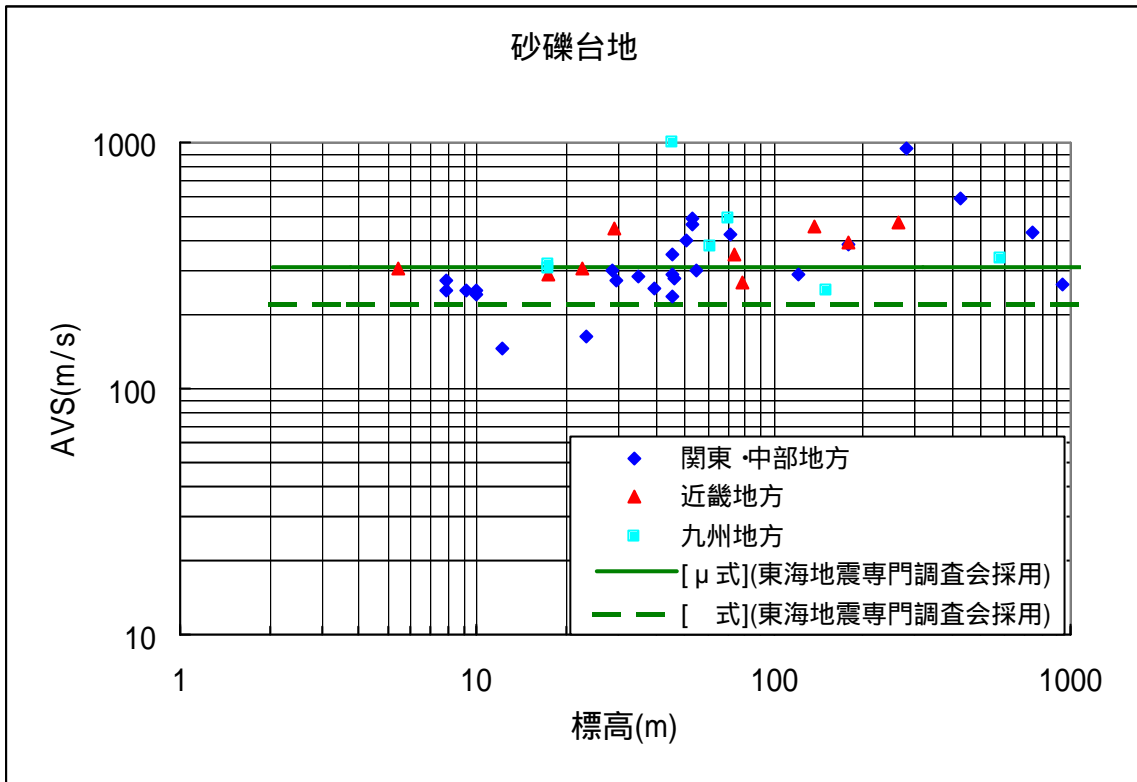


図 - 7 地域別の平均 S 波速度と標高の関係 (5) 砂礫台地

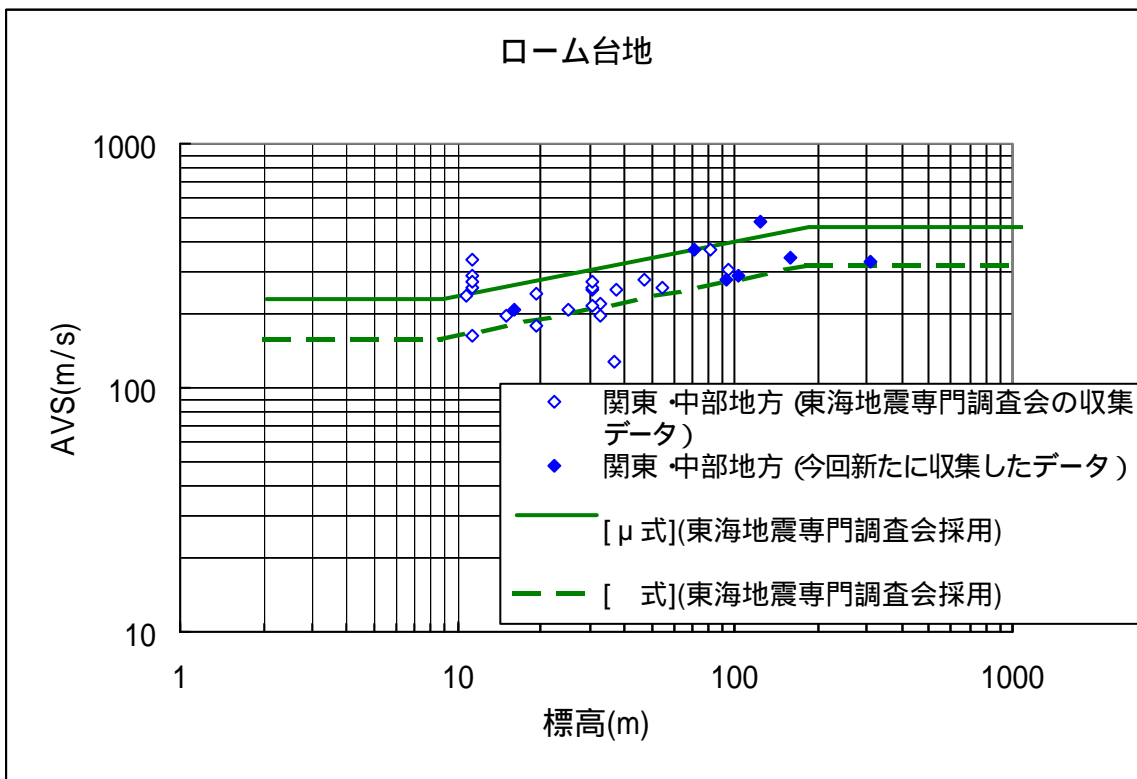
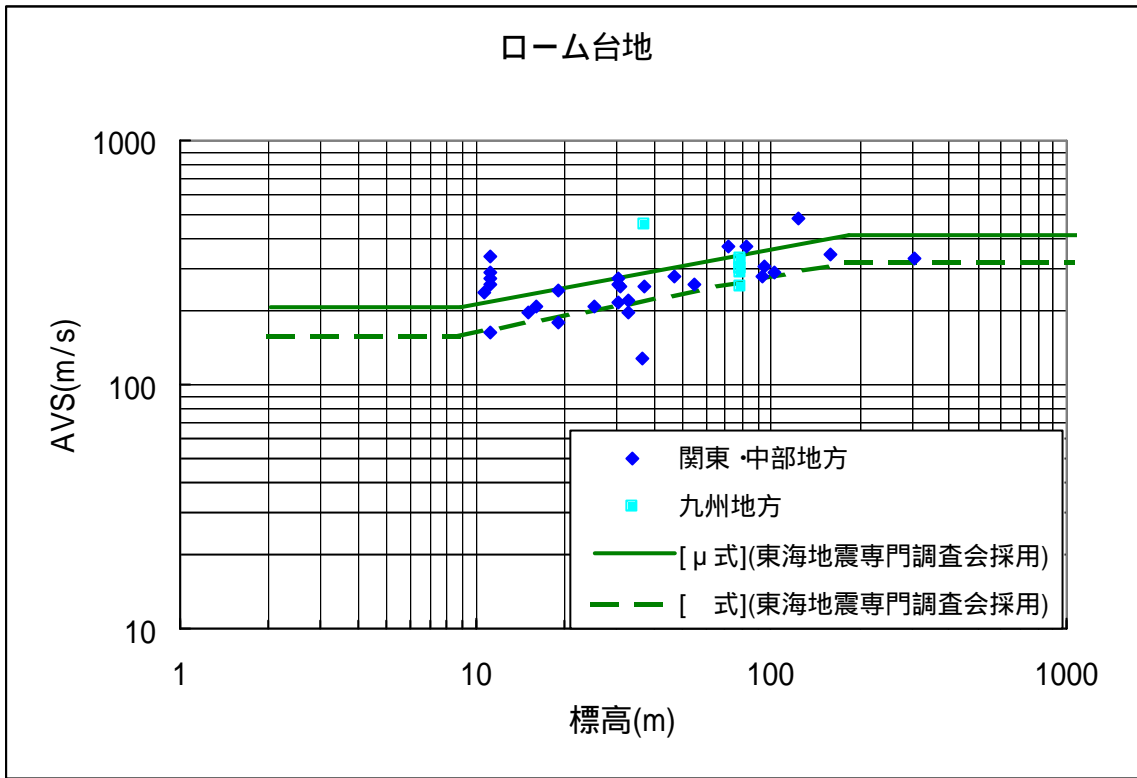


図 - 8 地域別の平均 S 波速度と標高の関係 (6) ローム台地

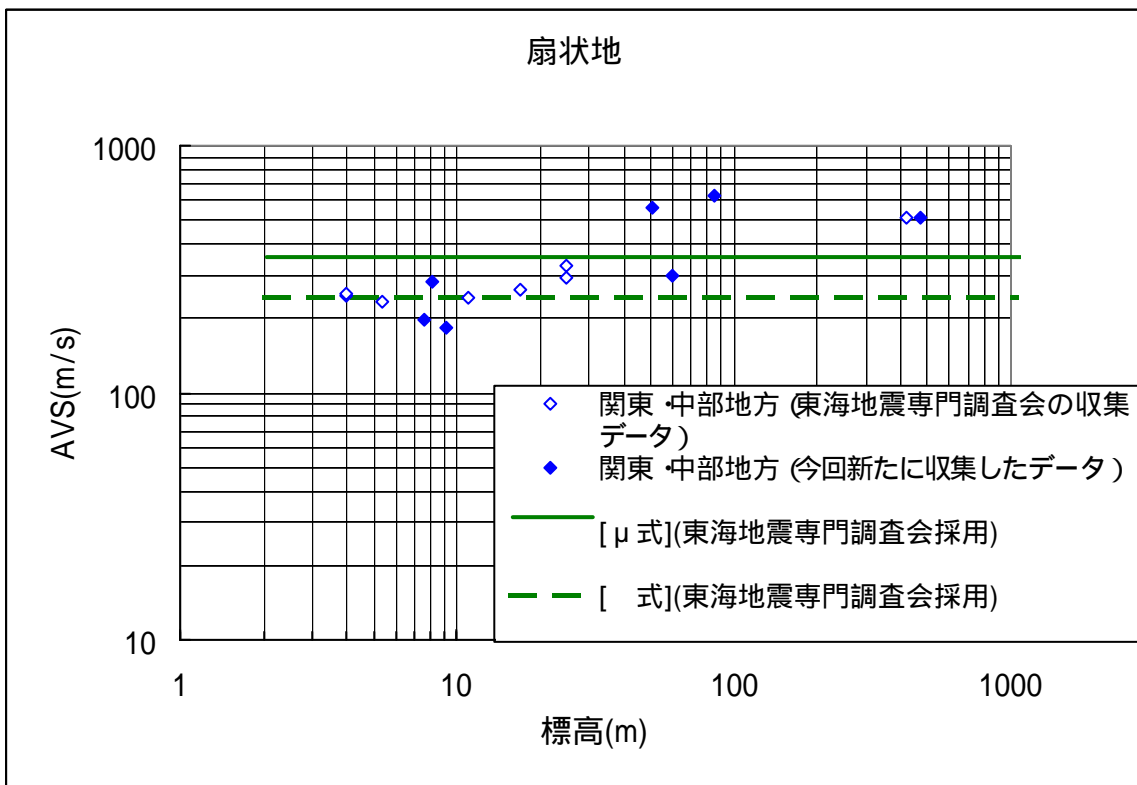
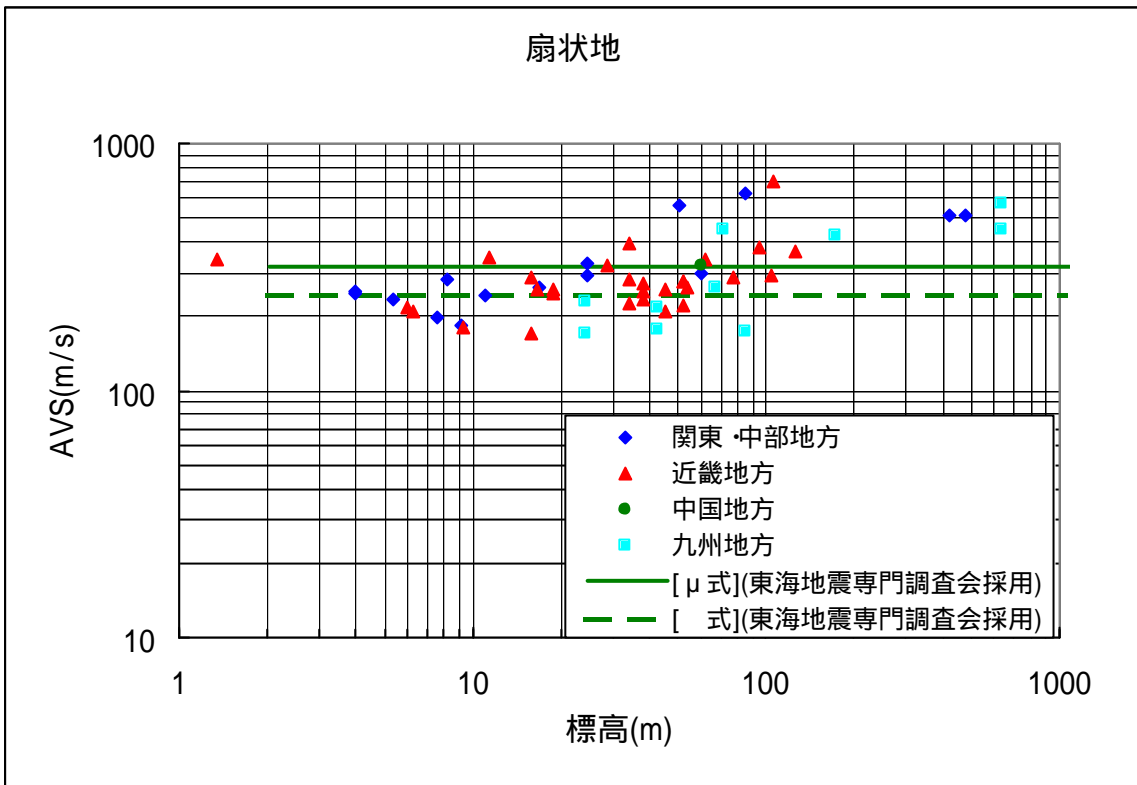


図 - 9 地域別の平均 S 波速度と標高の関係 (7) 扇状地

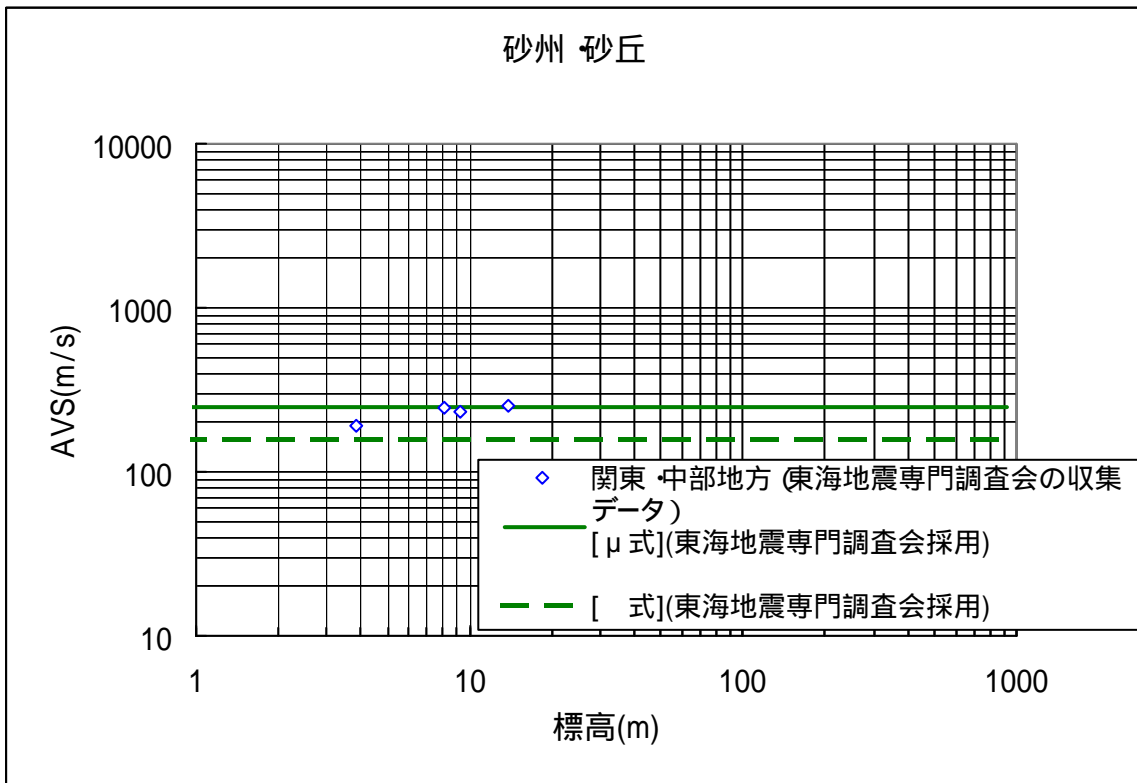
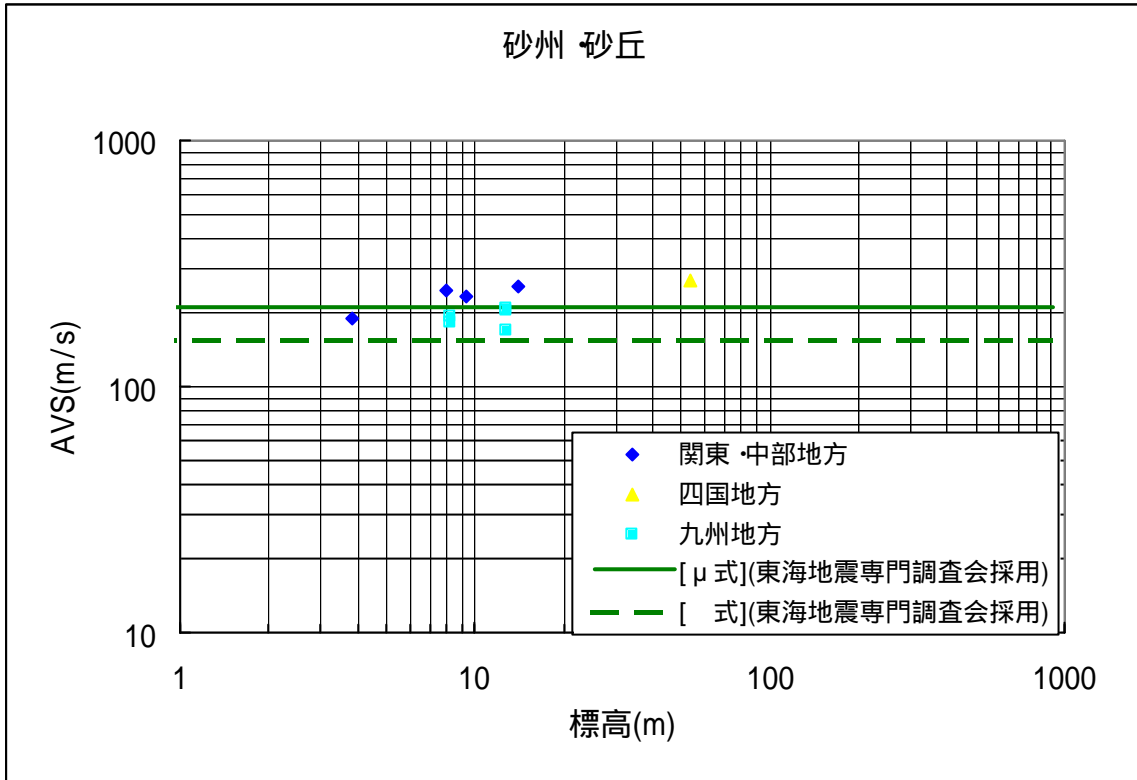


図 - 10 地域別の平均 S 波速度と標高の関係 (8) 砂丘 砂州

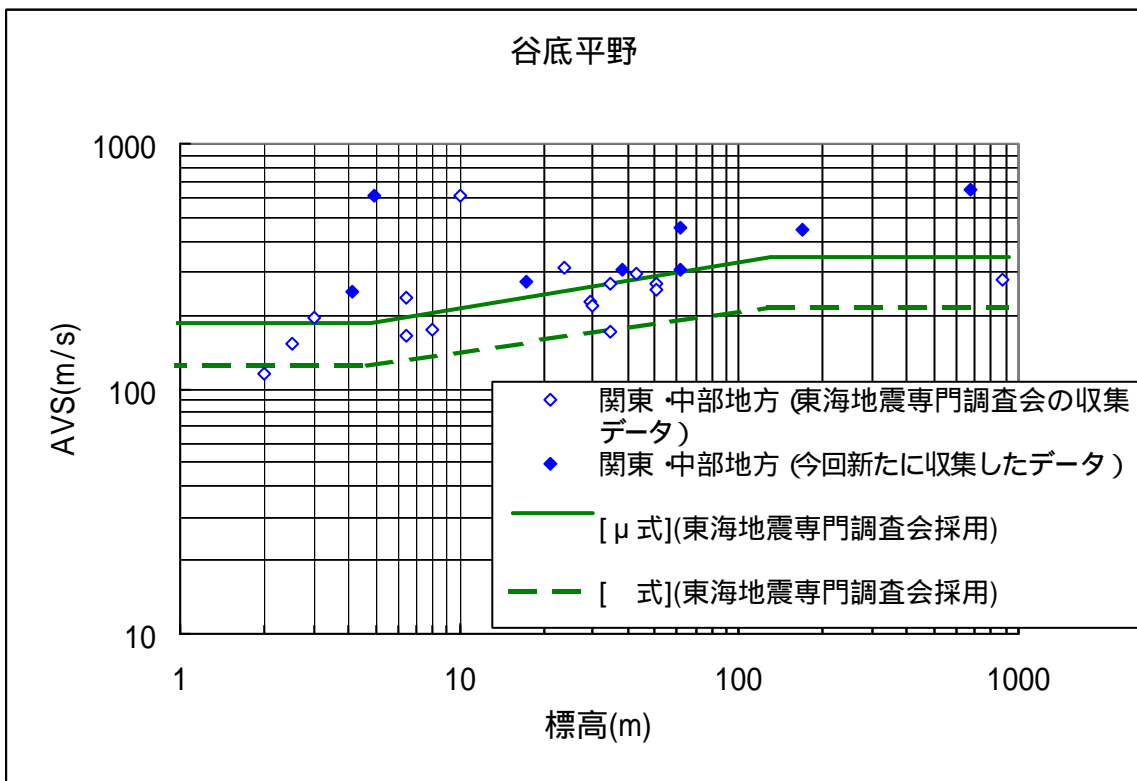
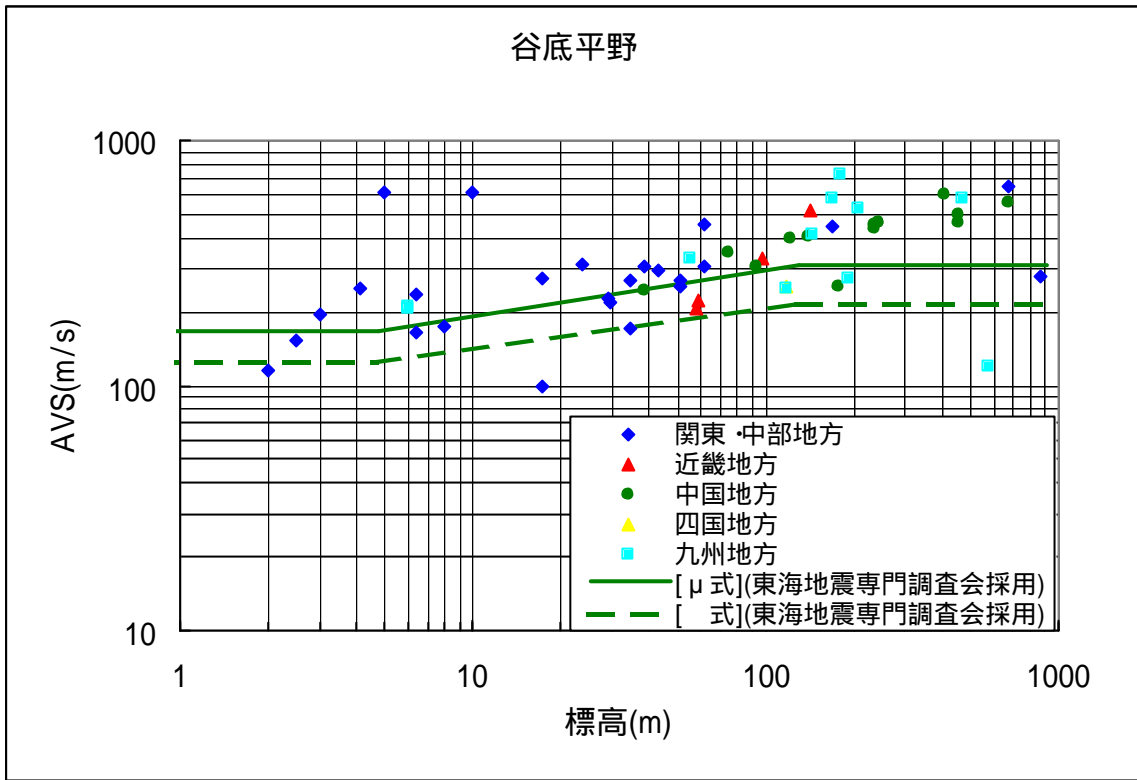


図 - 11 地域別の平均 S 波速度と標高の関係 (9) 谷底平野

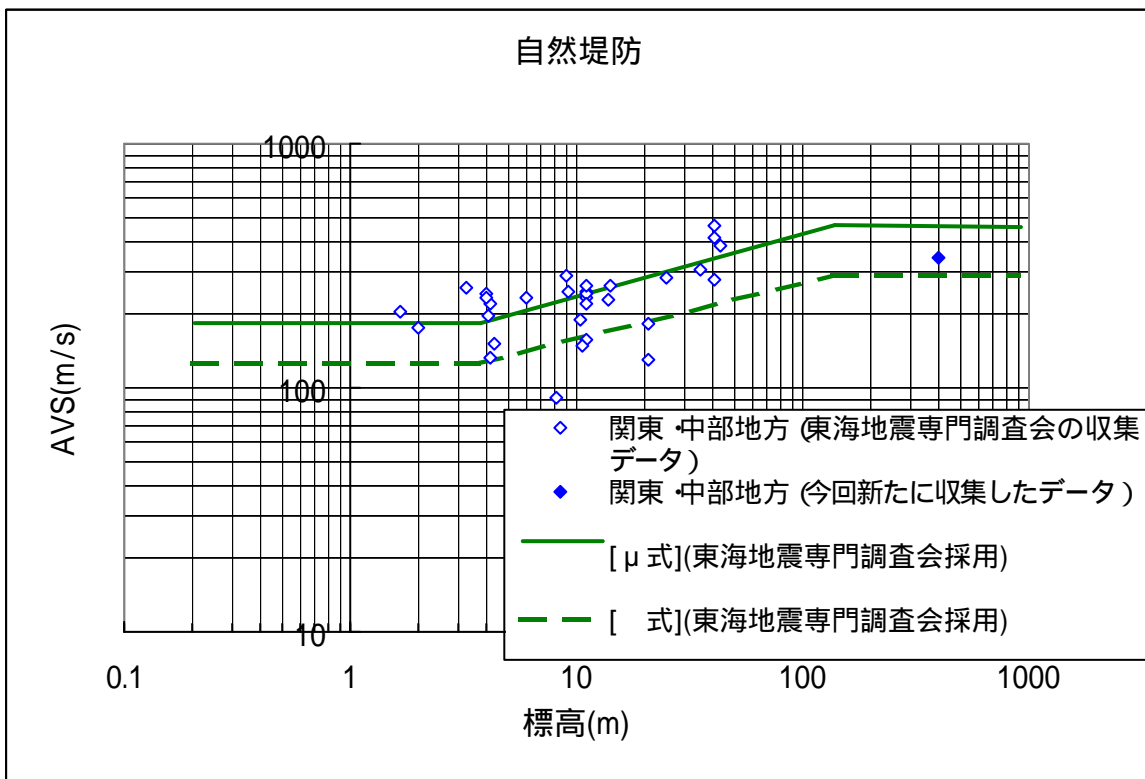
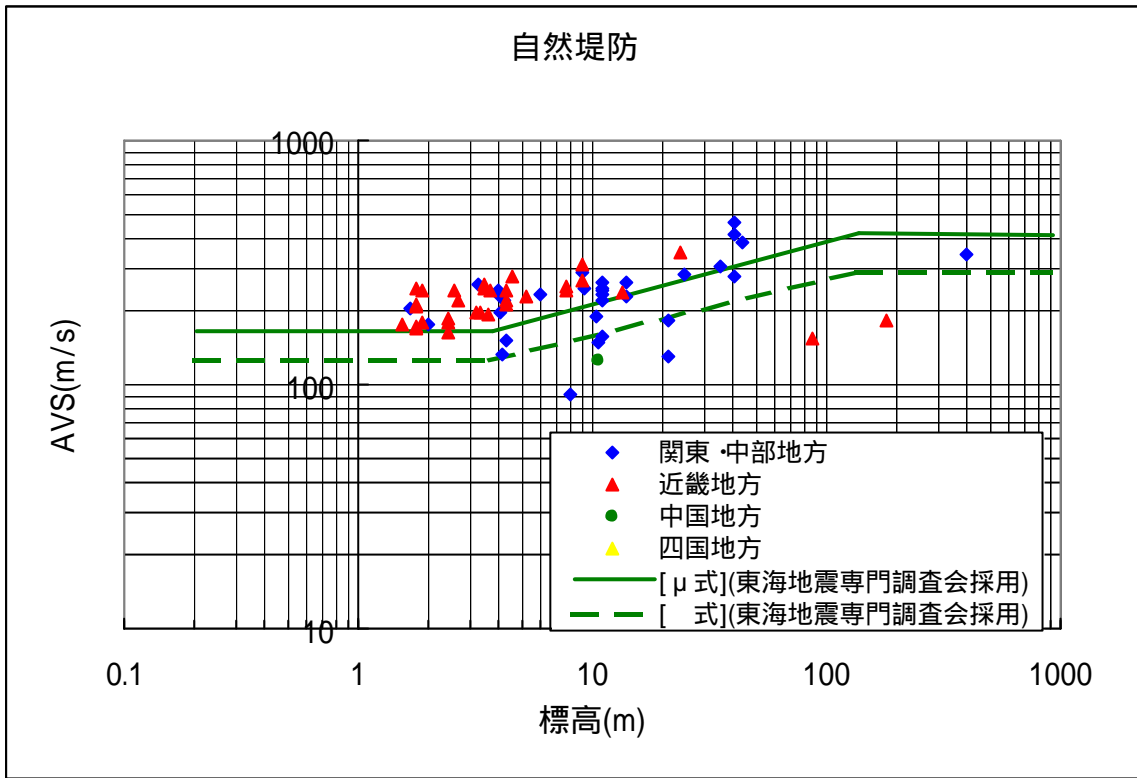


図 - 12 地域別の平均 S 波速度と標高の関係 (10) 自然堤防

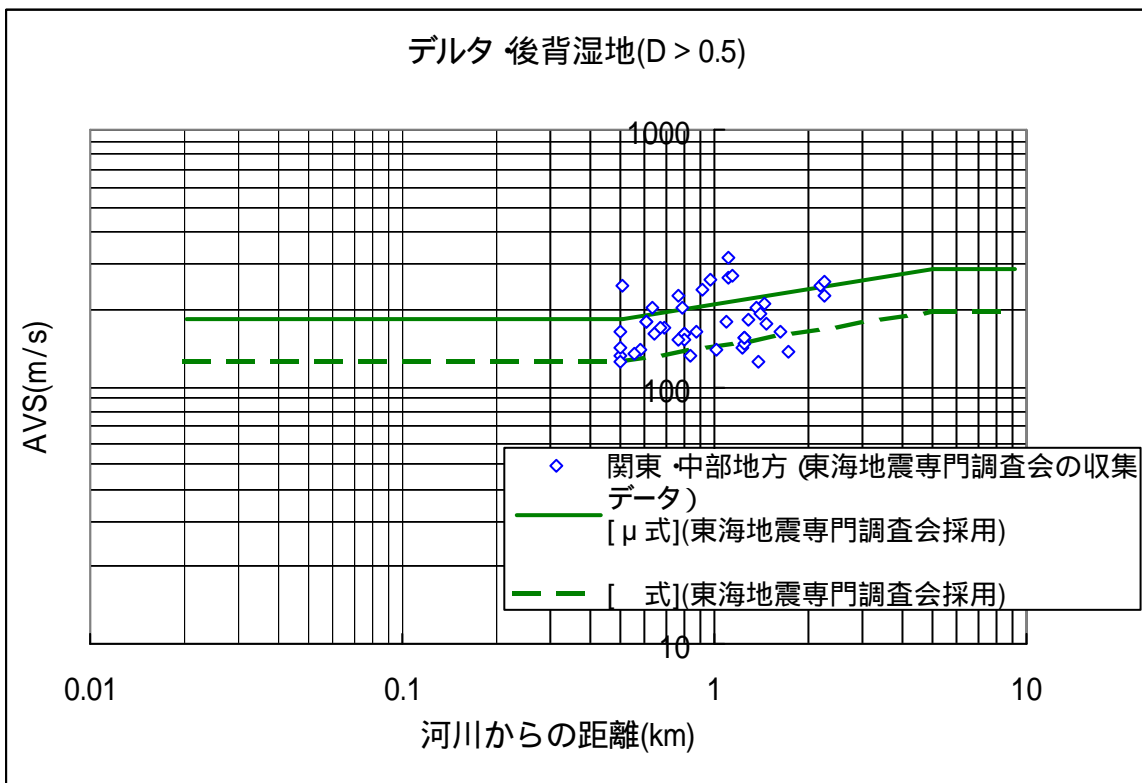
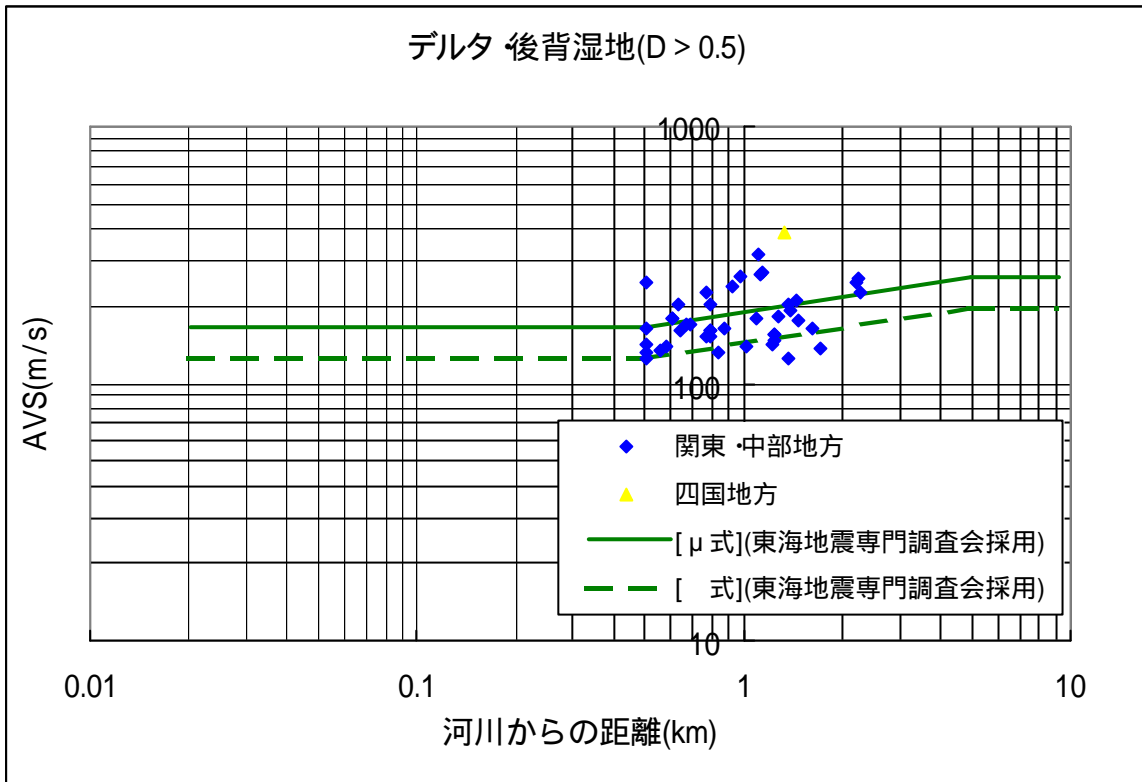


図 - 13 地域別の平均 S 波速度と河川からの距離の関係 (11)
デルタ 後背湿地 (D > 0.5)

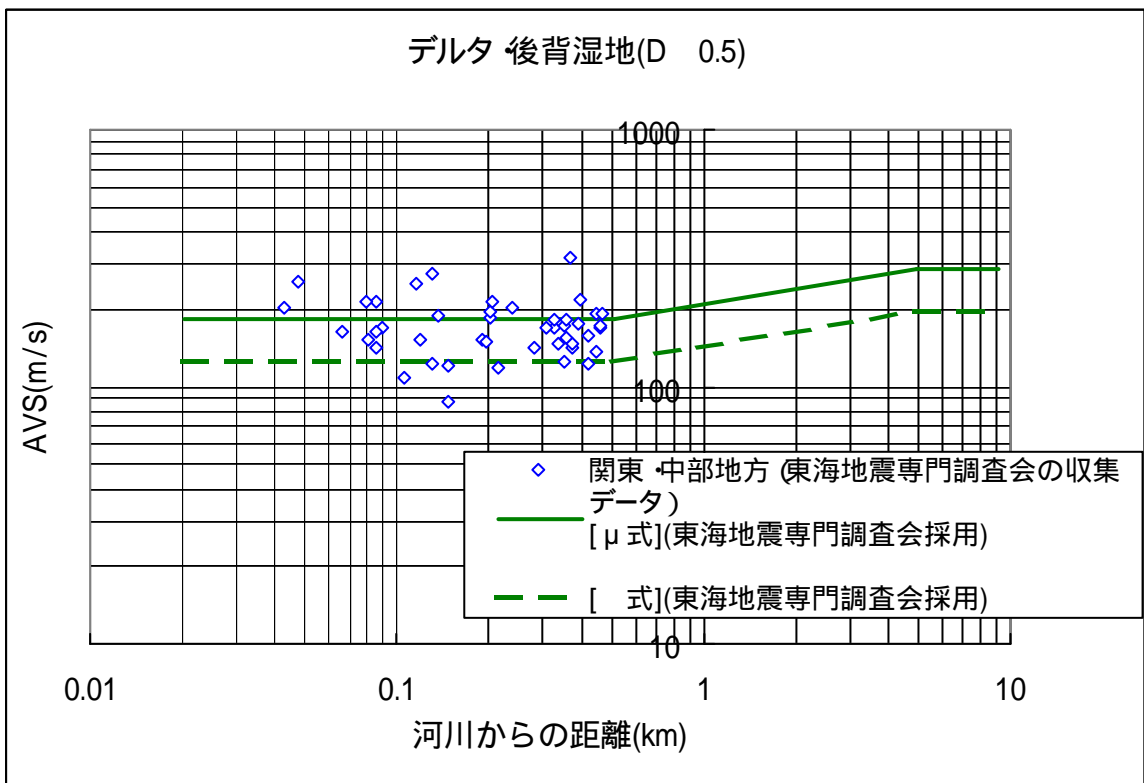
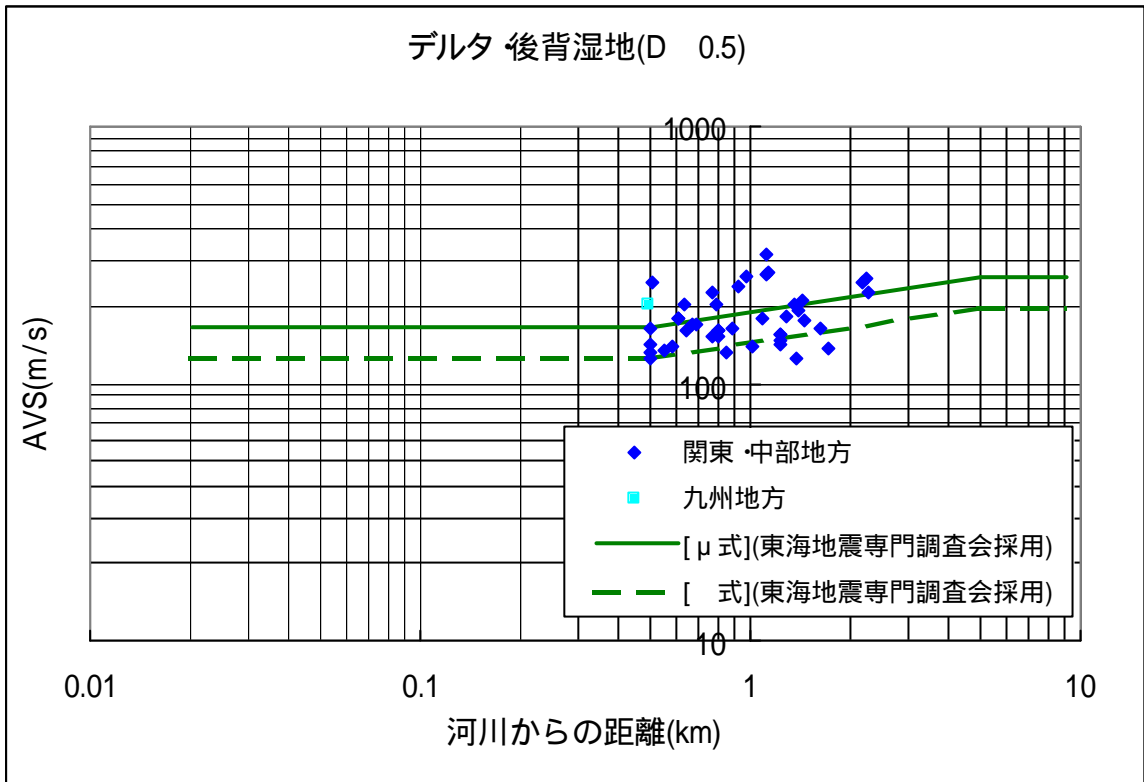


図 - 14 地域別の平均 S 波速度と河川からの距離の関係 (12)
デルタ 後背湿地 (D 0.5)

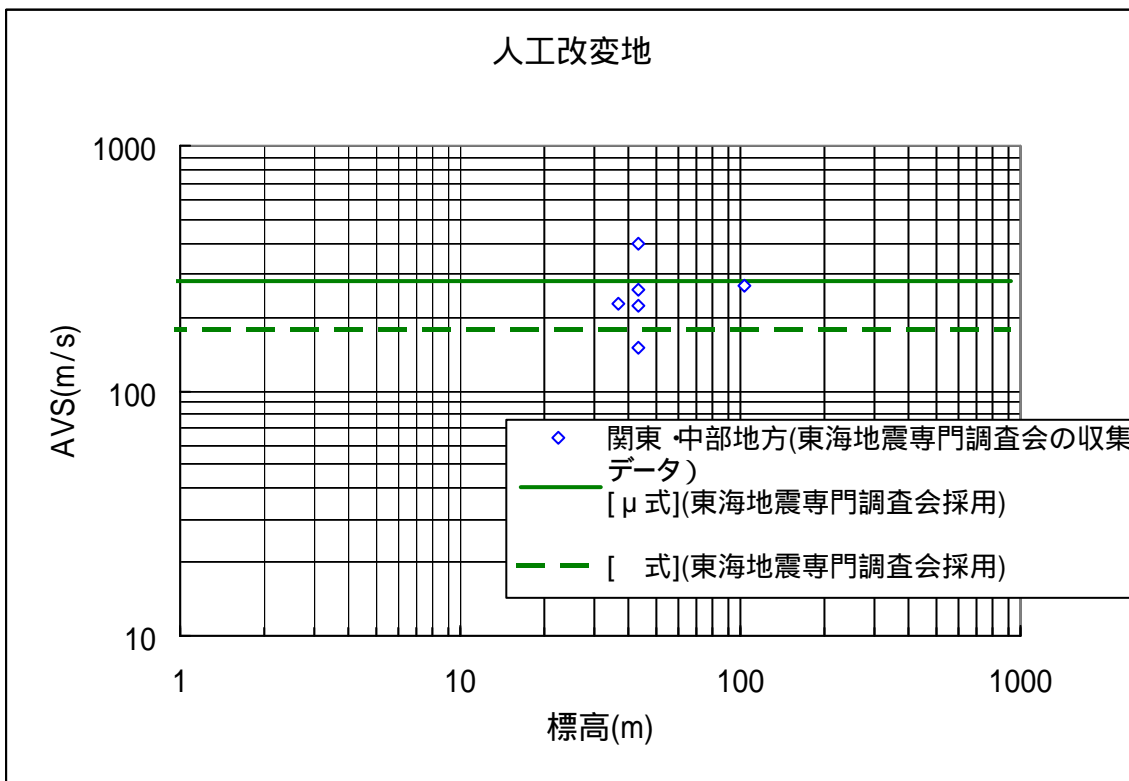
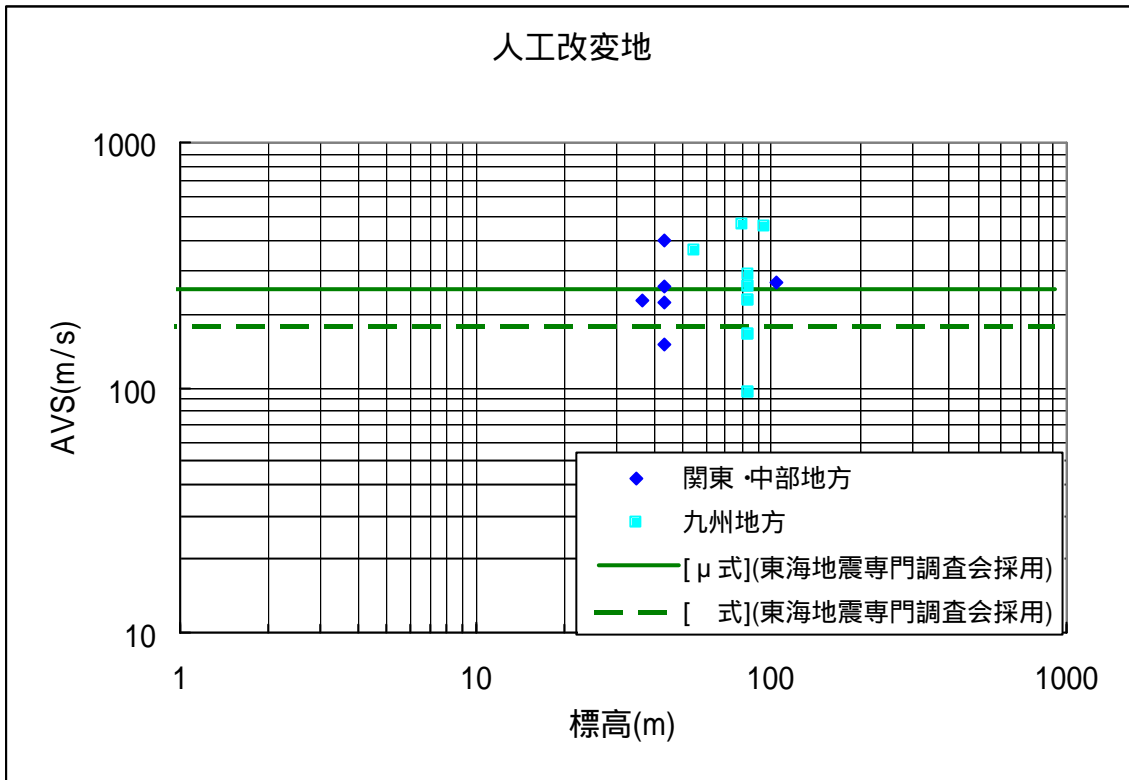


図 - 15 地域別の平均 S 波速度と標高の関係 (13) 人工改変地

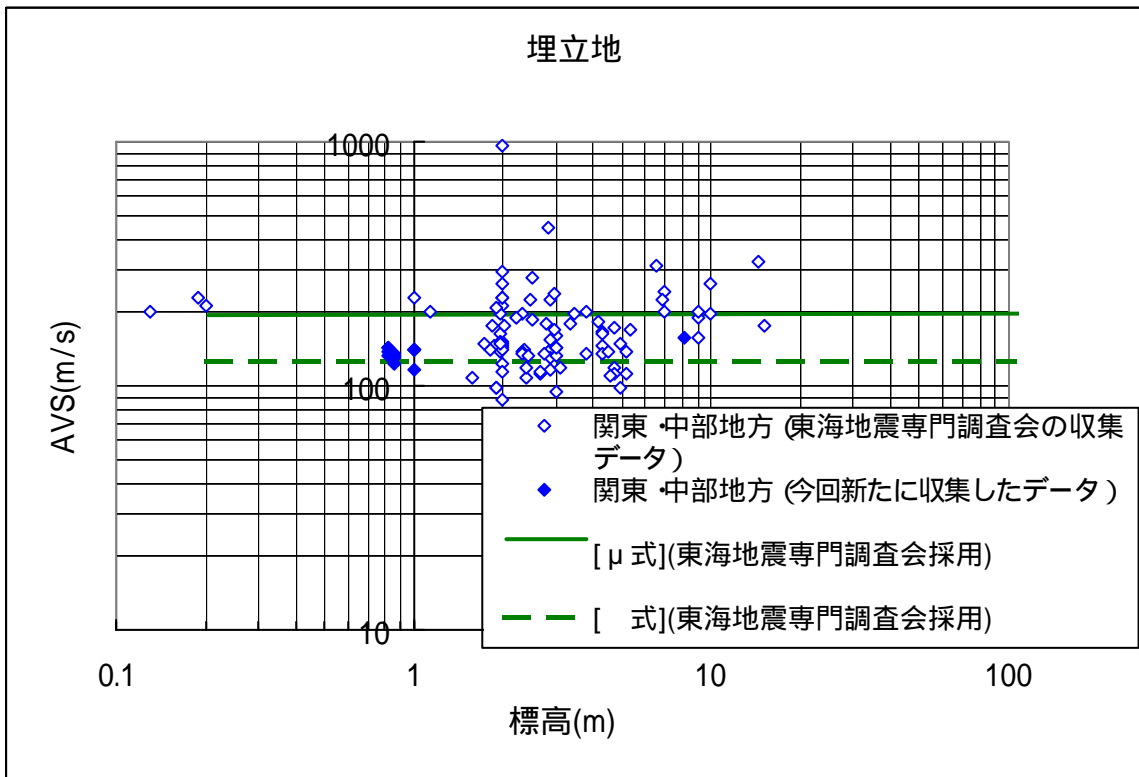
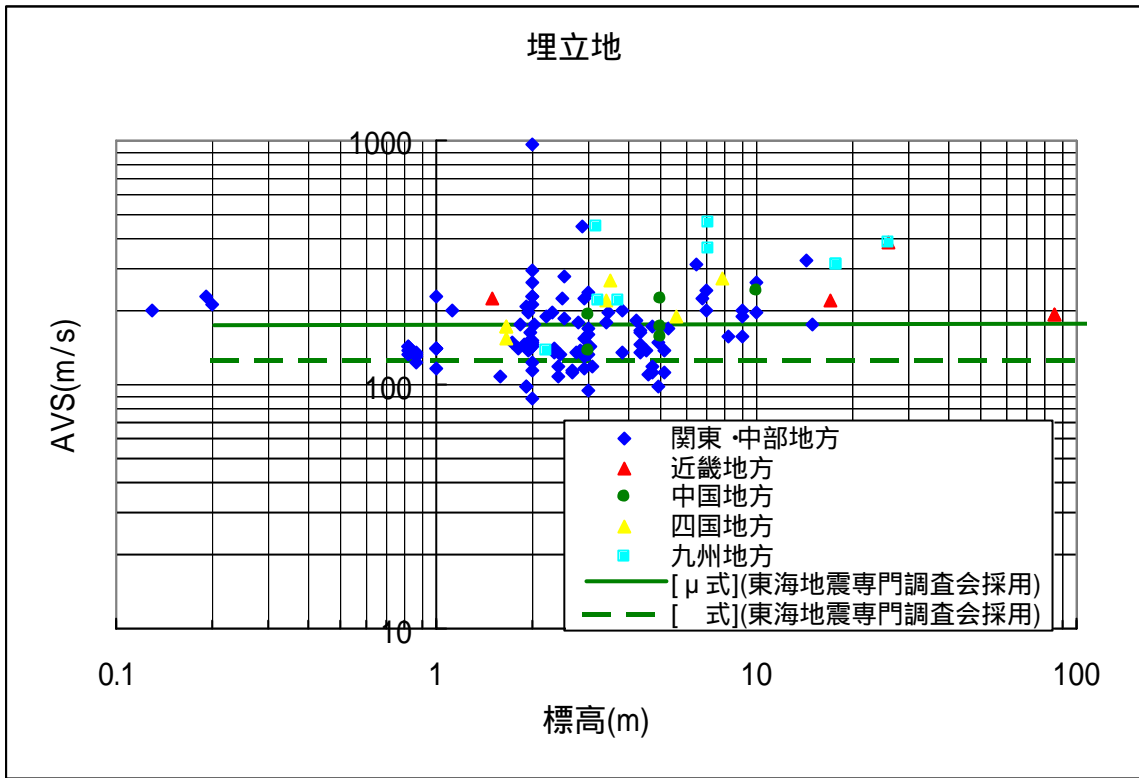


図 - 16 地域別の平均 S 波速度と標高の関係 (14) 埋立地

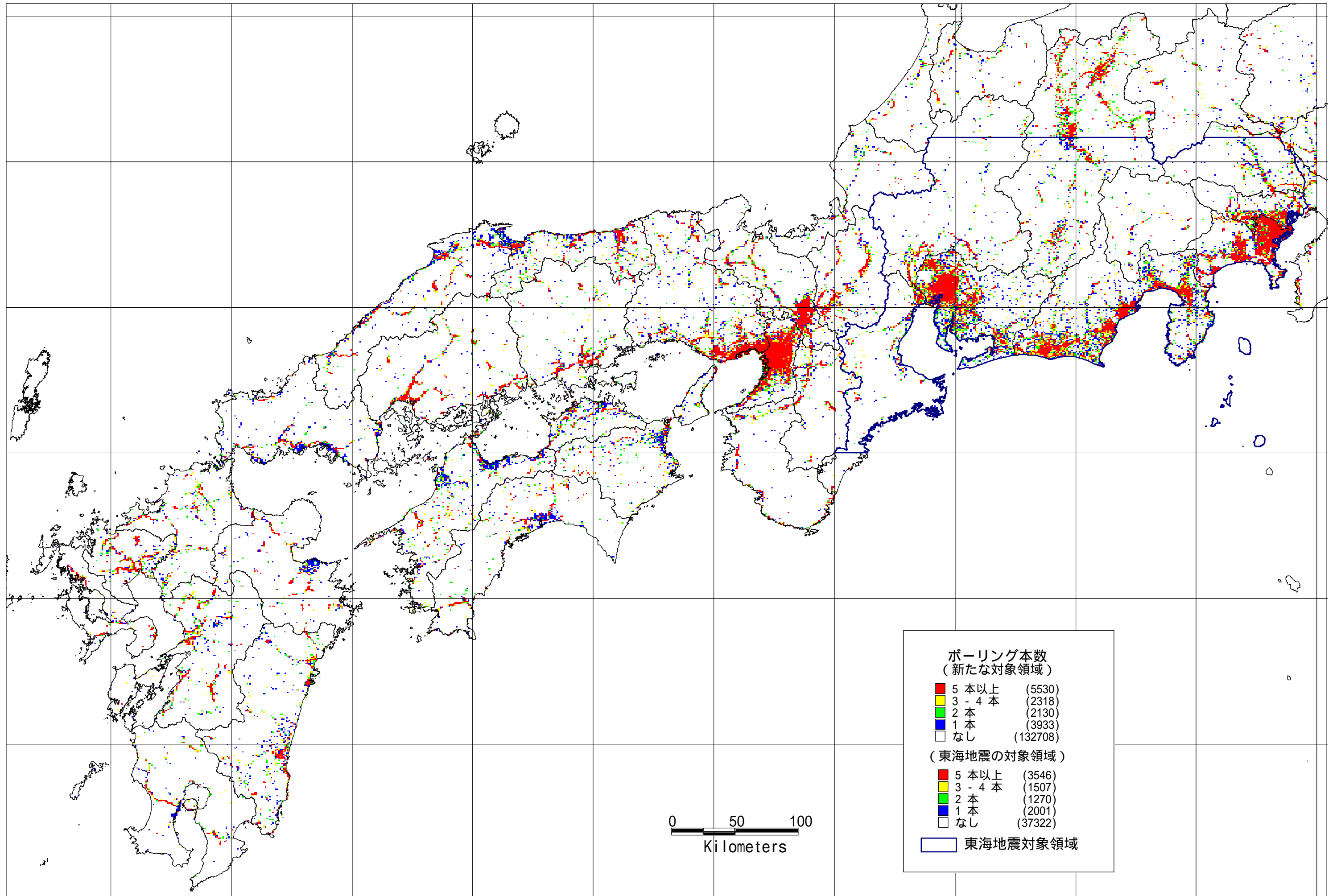


図 - 17 デジタル化したボーリングのメッシュごとの本数 (6/6現在)

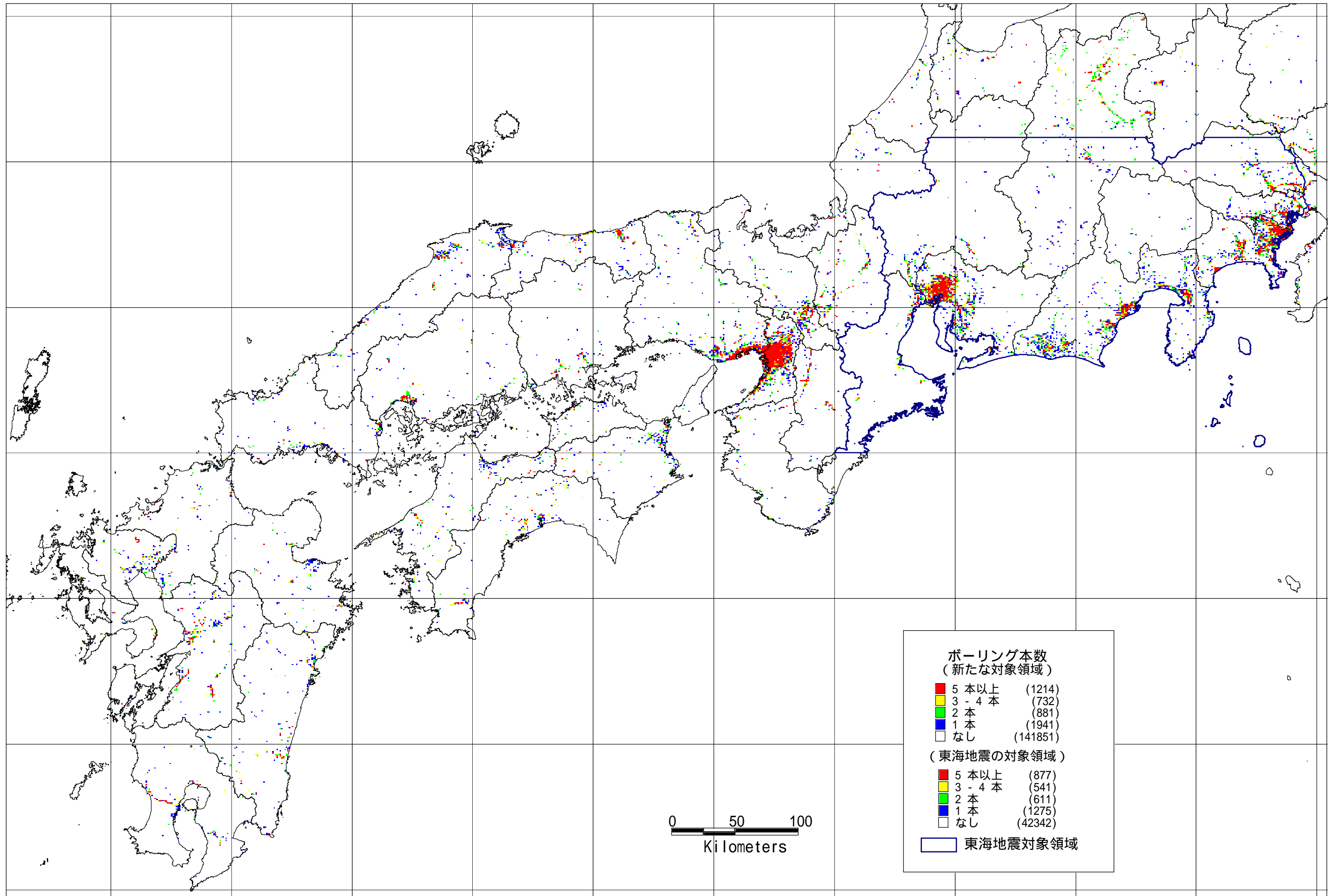


図 - 1 8 デジタル化したボーリングのメッシュごとの本数 (掘進長30m以上) (6/6現在)

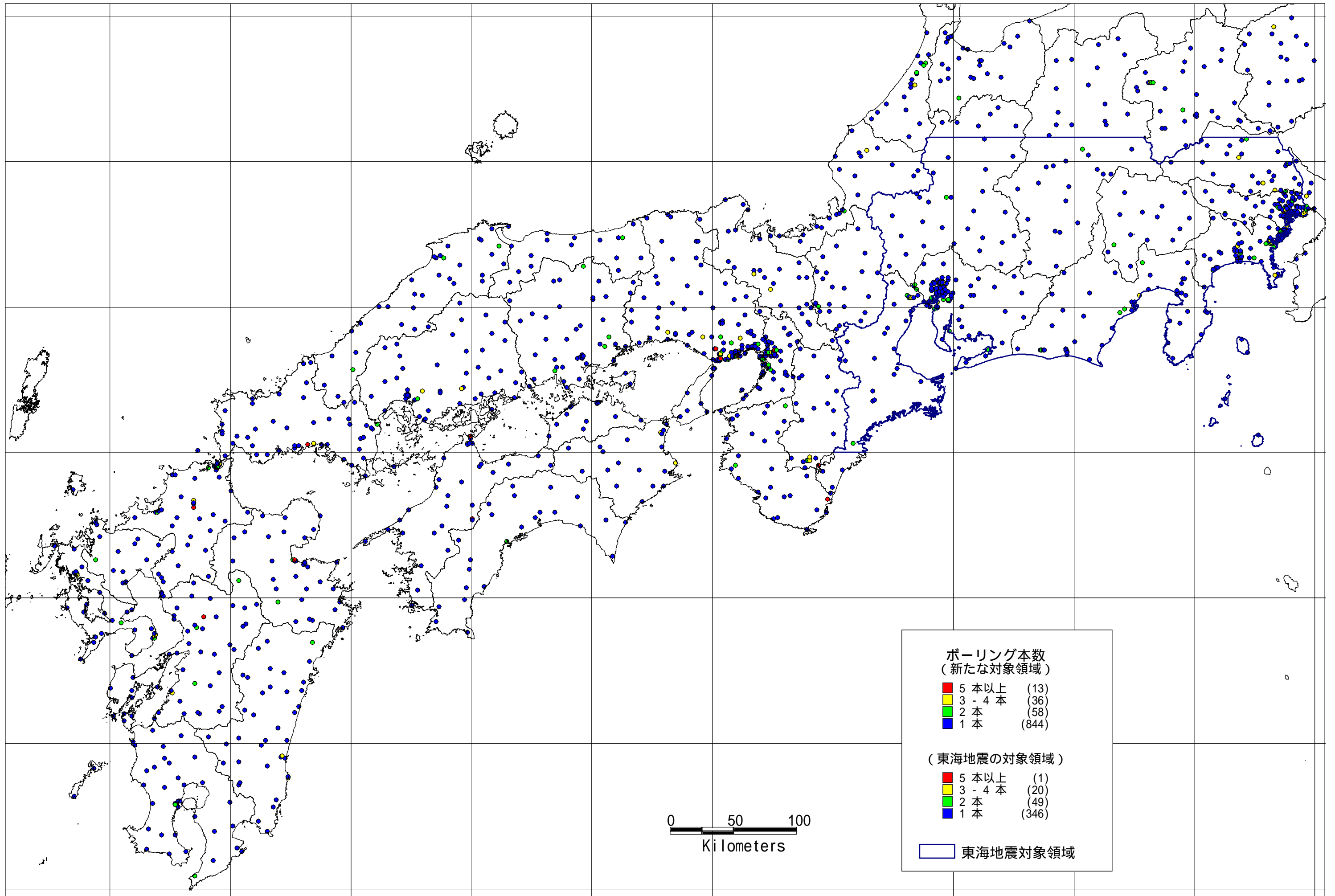


図 - 19 デジタル化したPS検層を含むボーリングのメッシュごとの本数 (6/6現在)

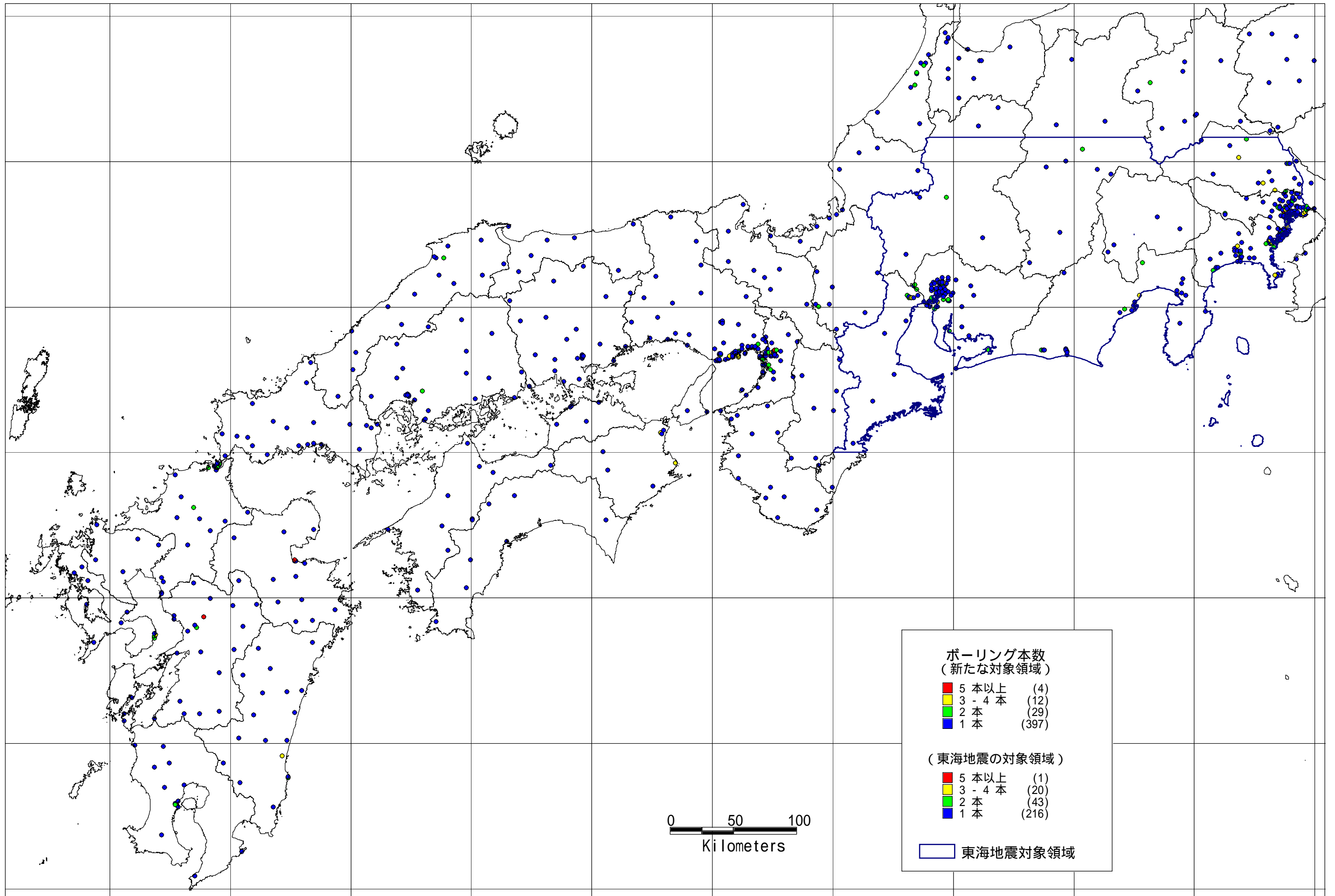


図 - 20 デジタル化したPS検層を含むボーリングのメッシュごとの本数 (掘進長30m以上) (6/6現在)

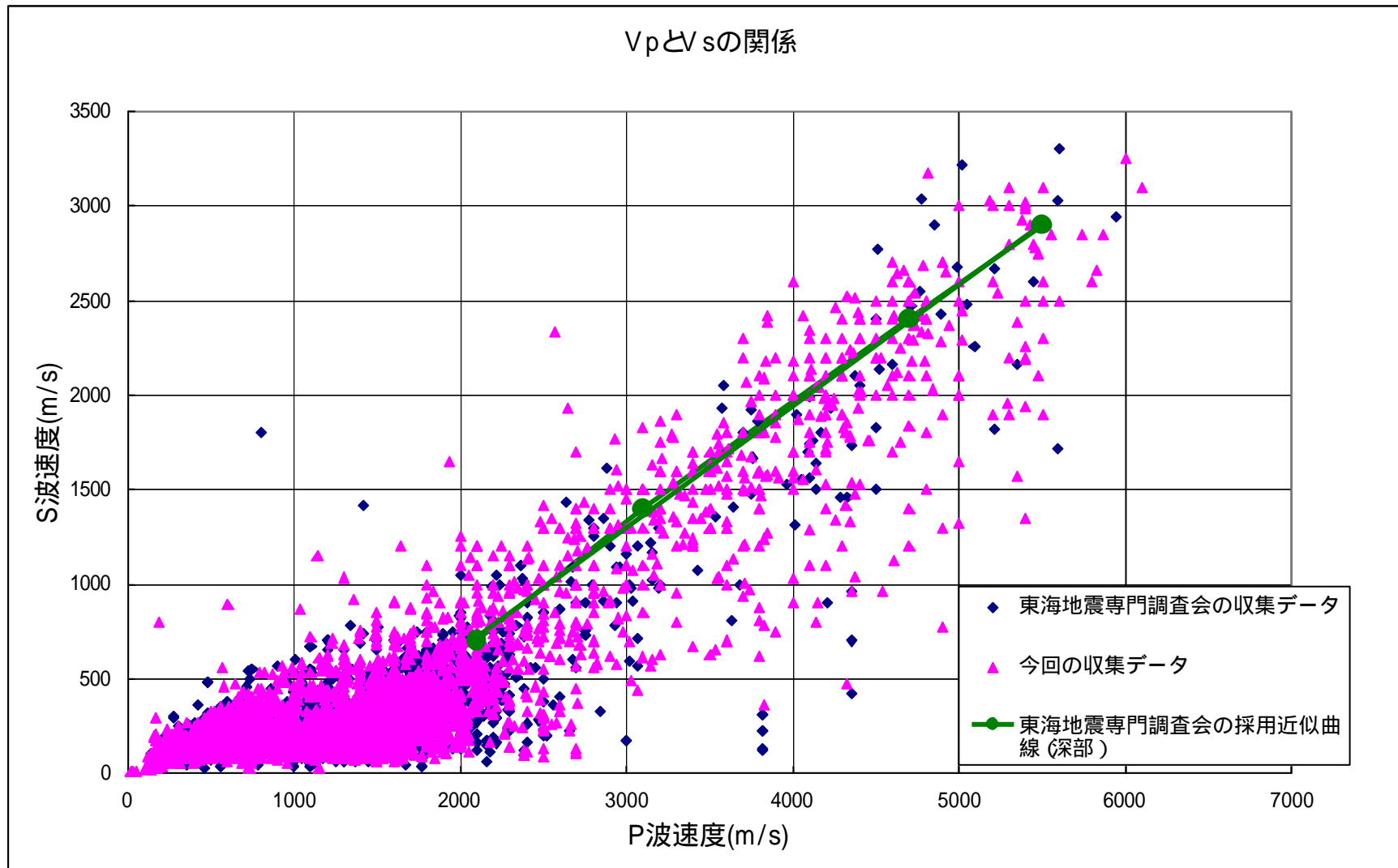


図 21 (1) P 波速度と S 波速度の関係 (東海地震対象領域+今回の対象領域)

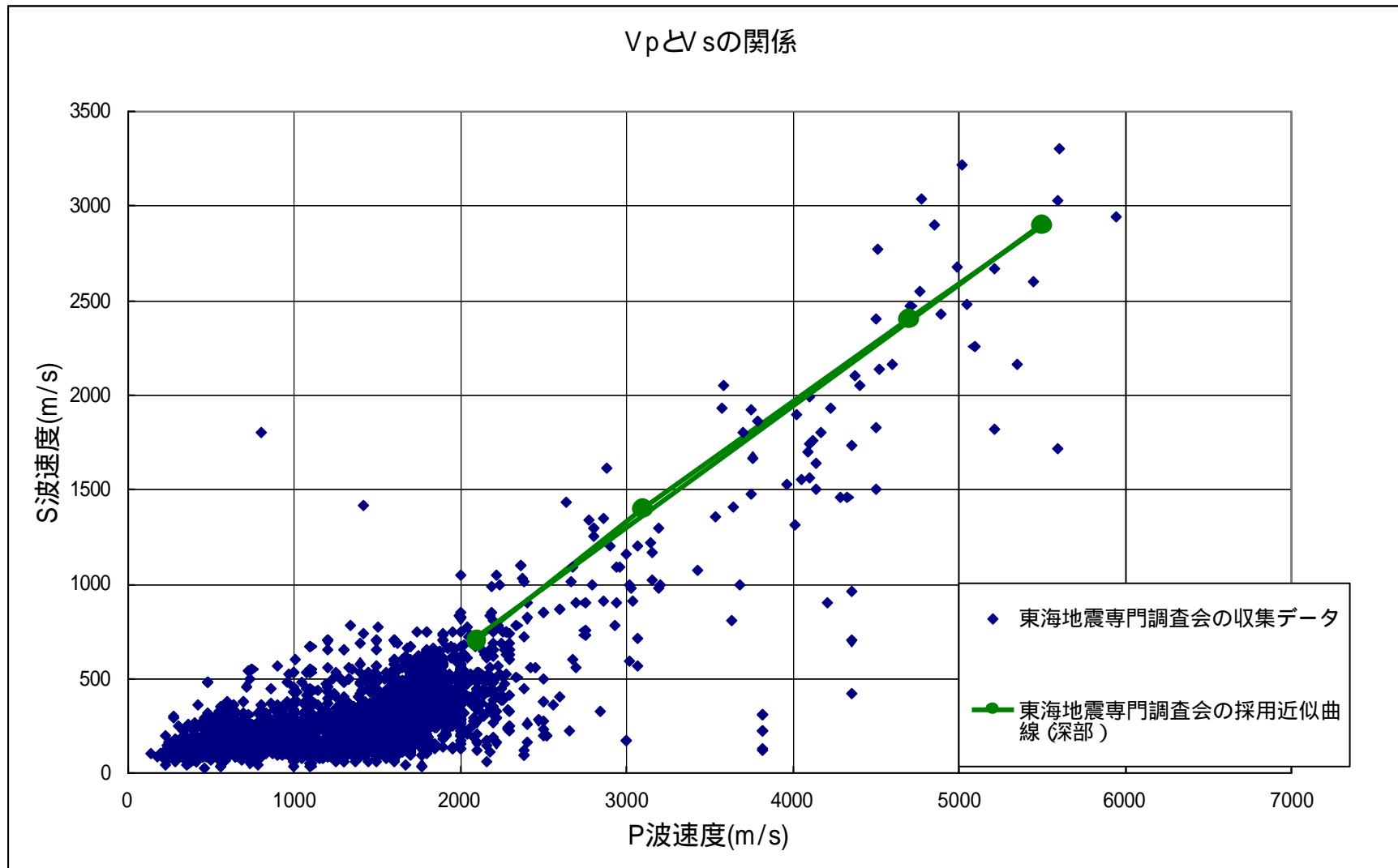


図 - 21 (2) P 波速度と S 波速度の関係 (東海地震対象領域)

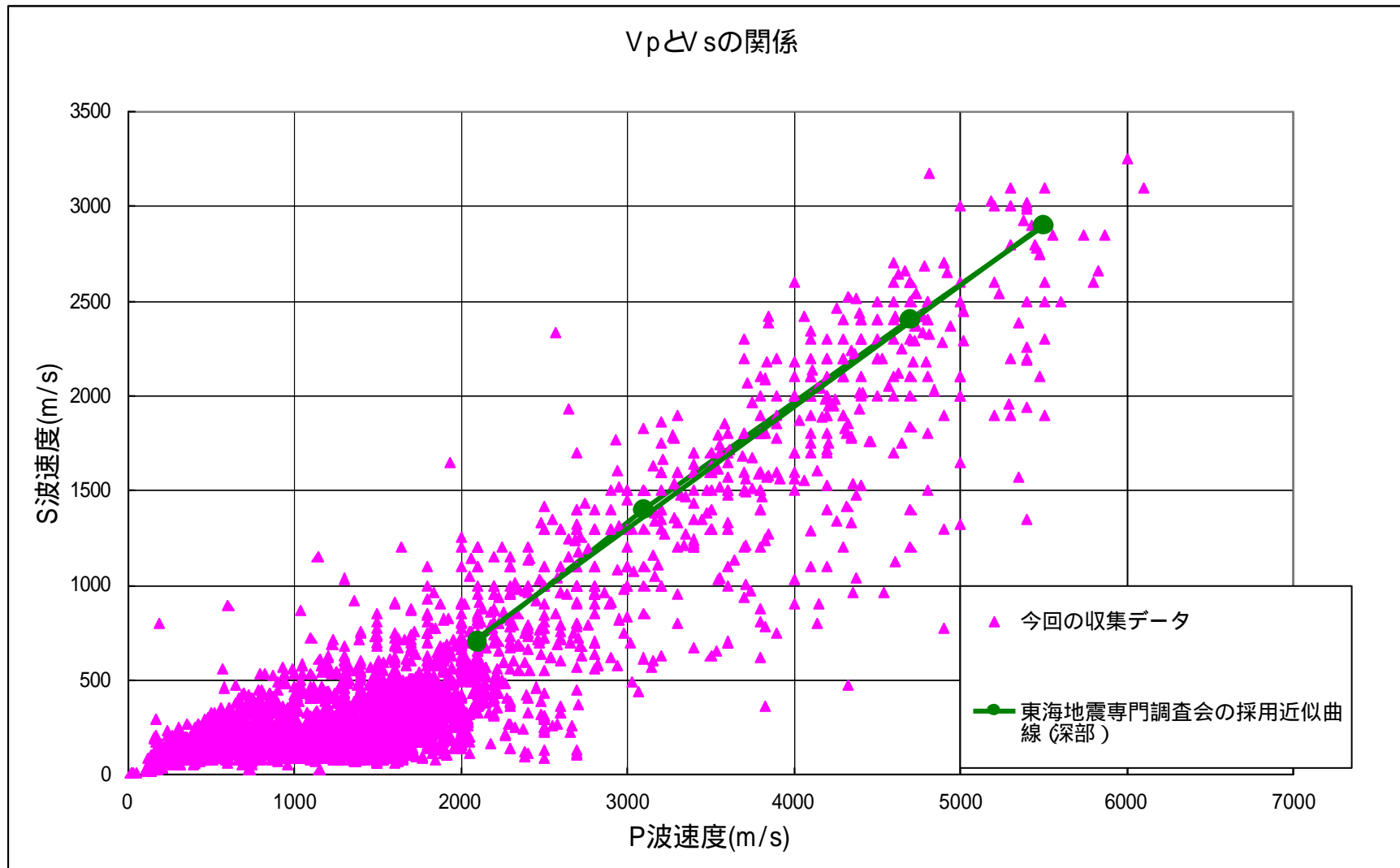


図 21 (3) P 波速度と S 波速度の関係 (今回の対象領域)

東海地震で採用した近似曲線との比較

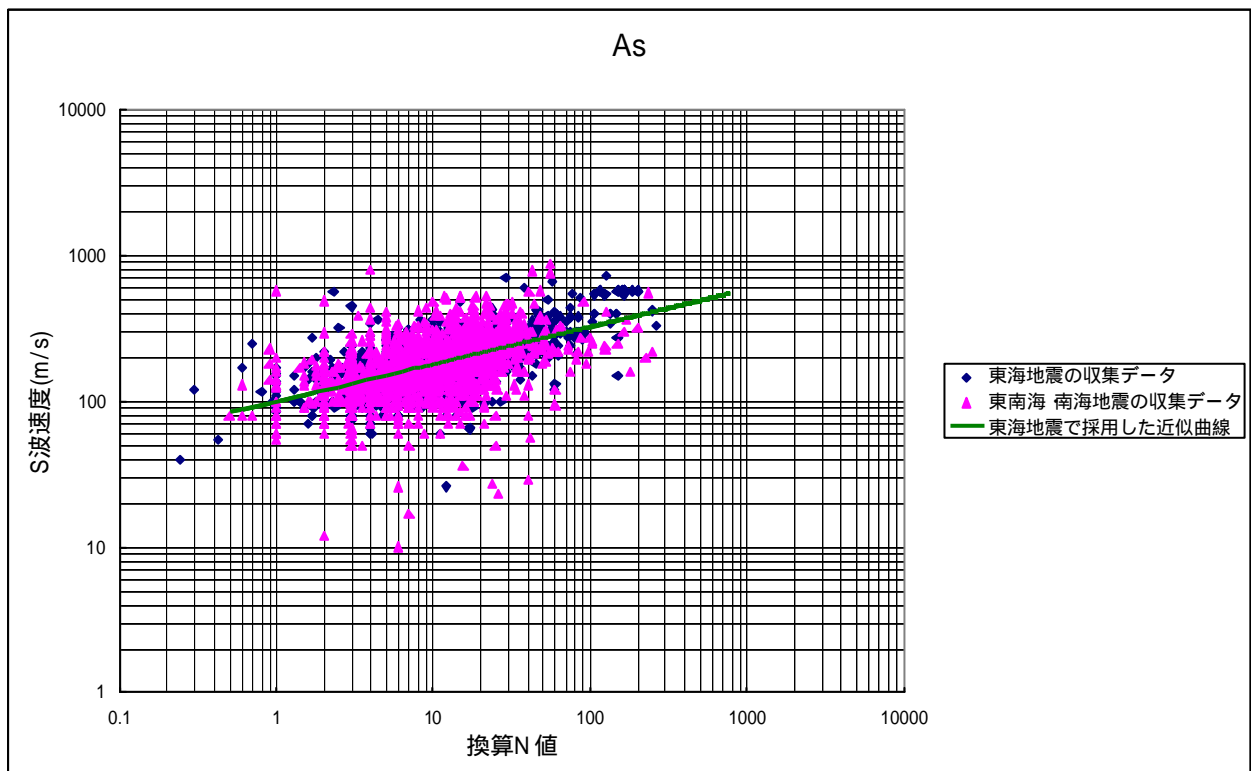
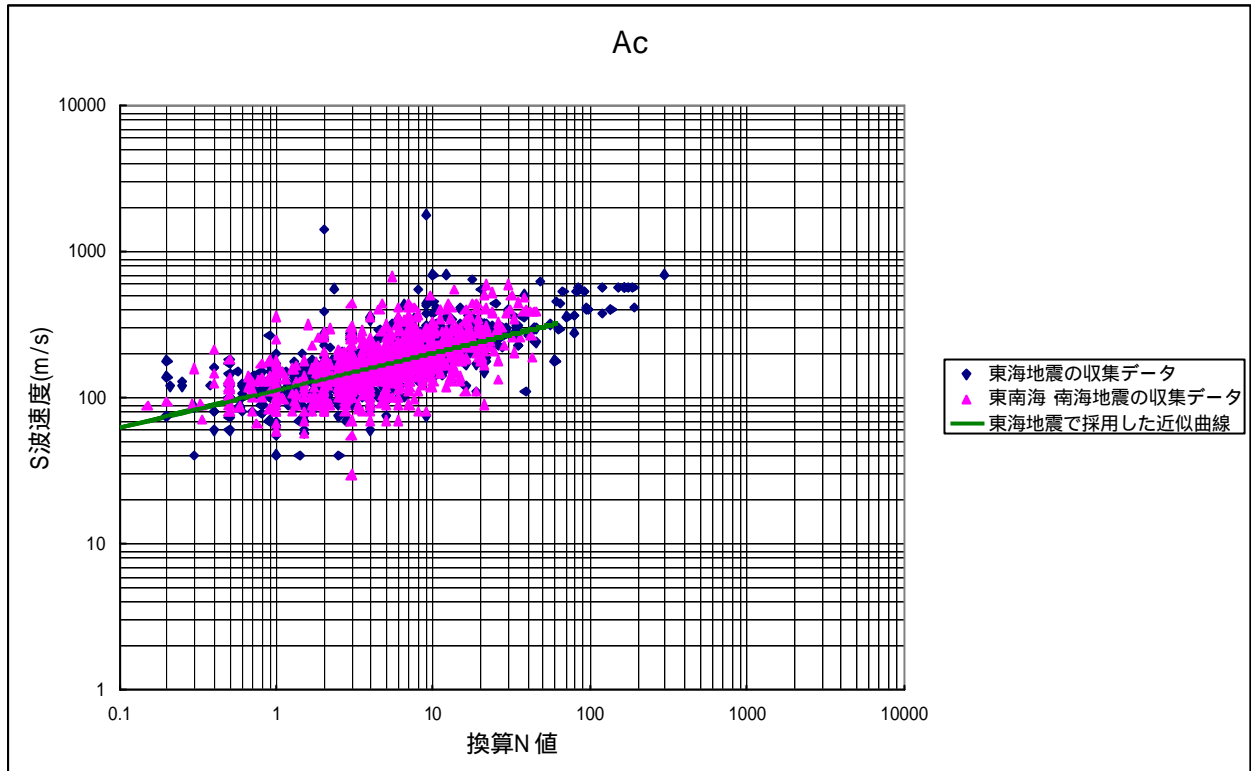


図 2 2 換算 N 値と S 波速度の関係 (その 1) Ac、As

東海地震で採用した近似曲線との比較

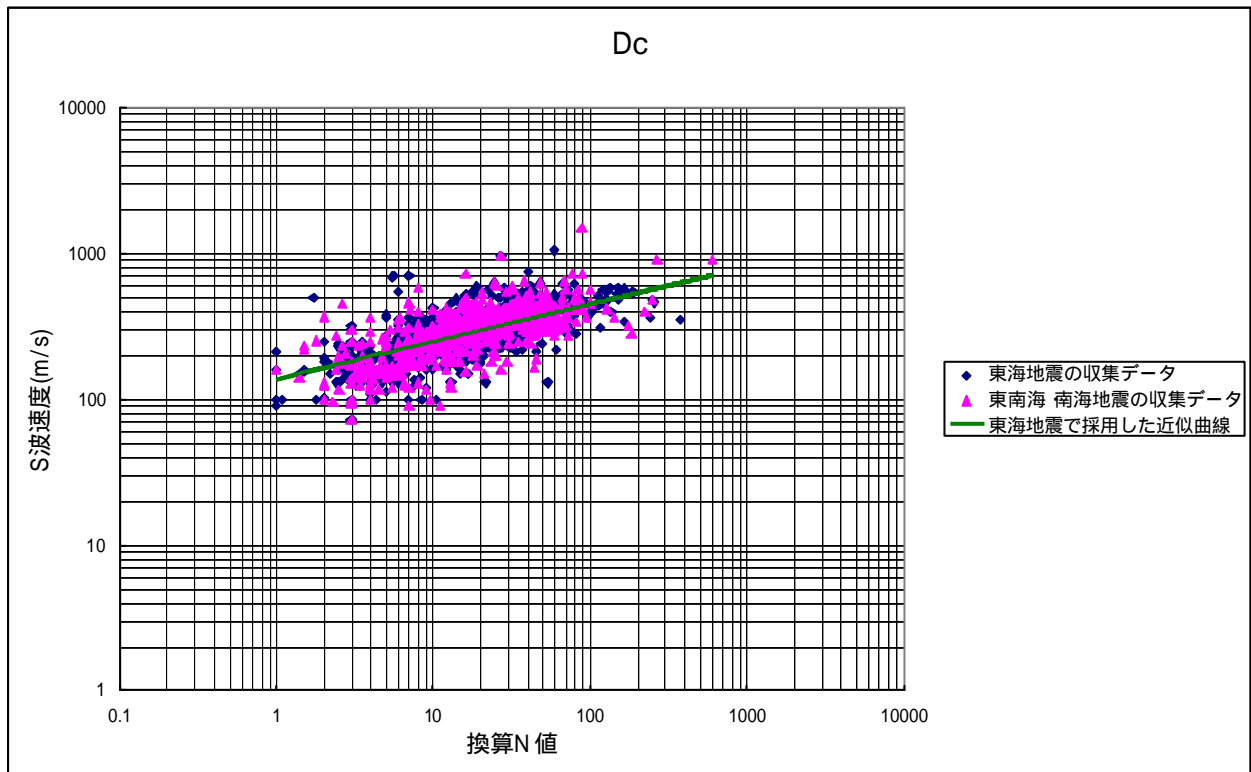
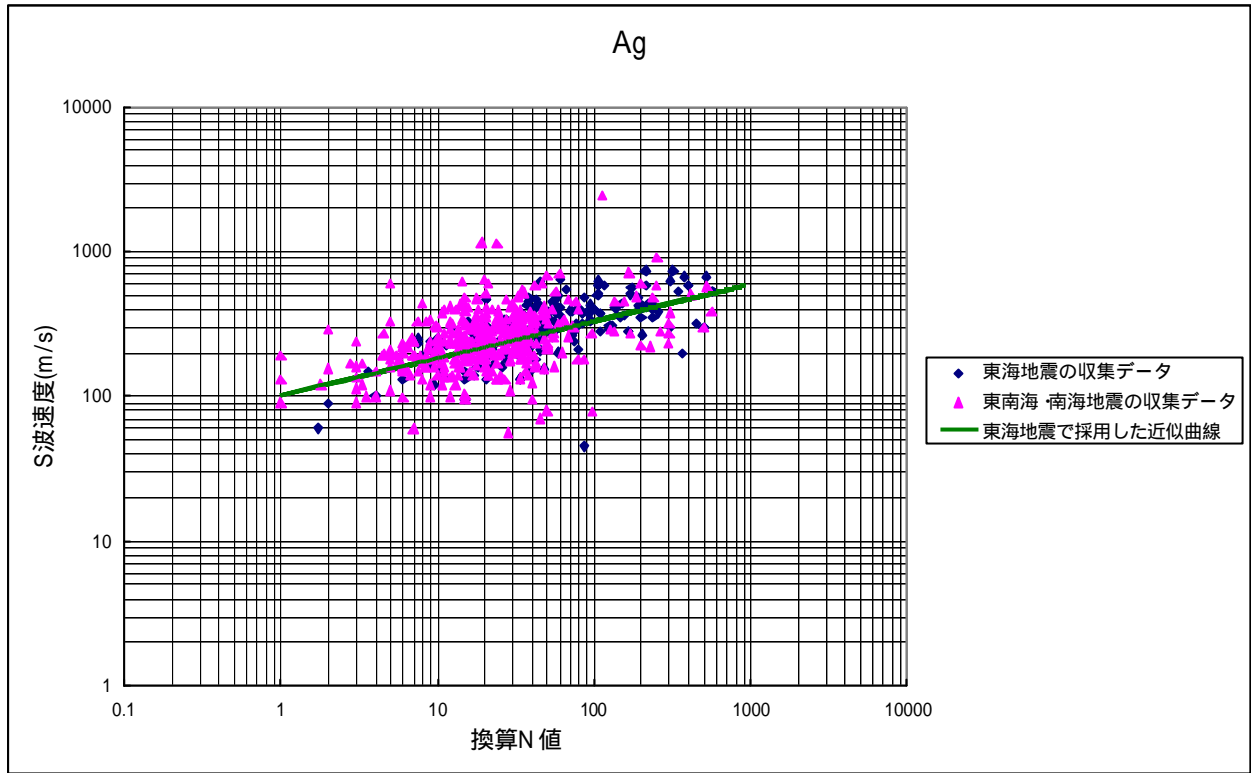


図 2 2 換算 N 値と S 波速度の関係 (その 2) Ag、Dc

東海地震で採用した近似曲線との比較

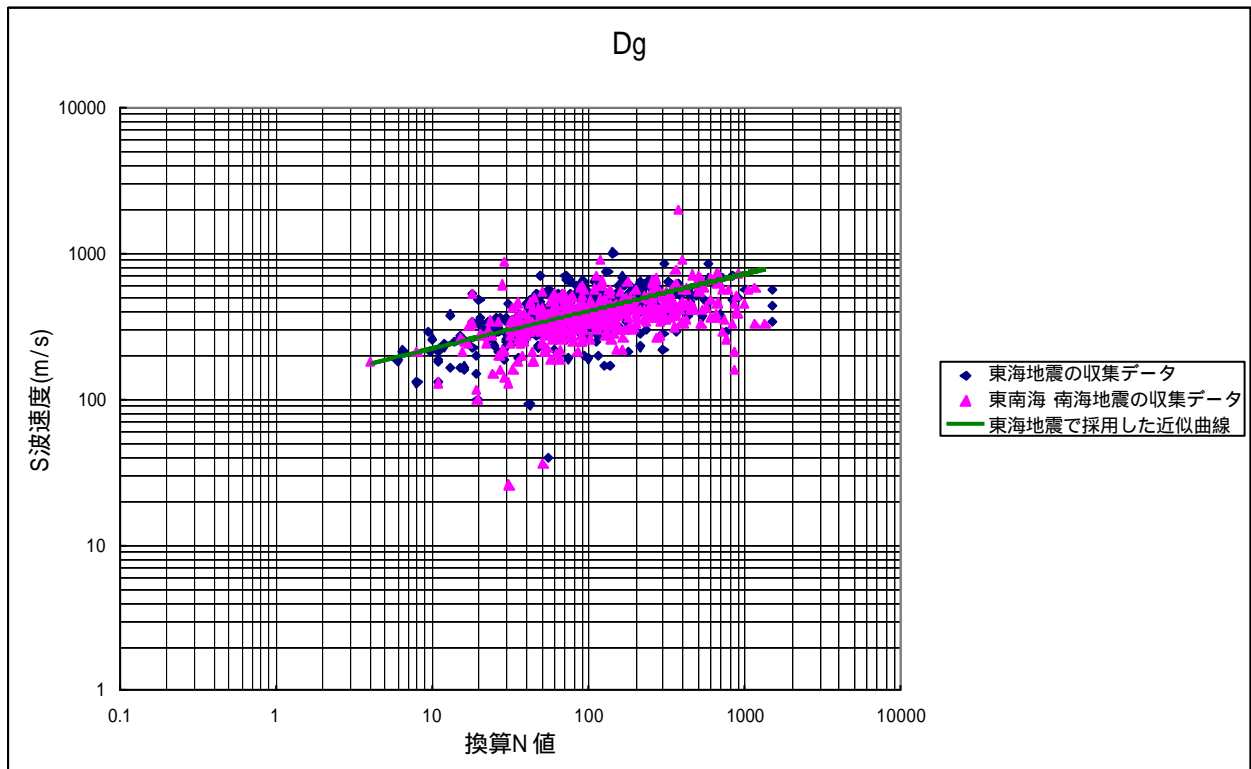
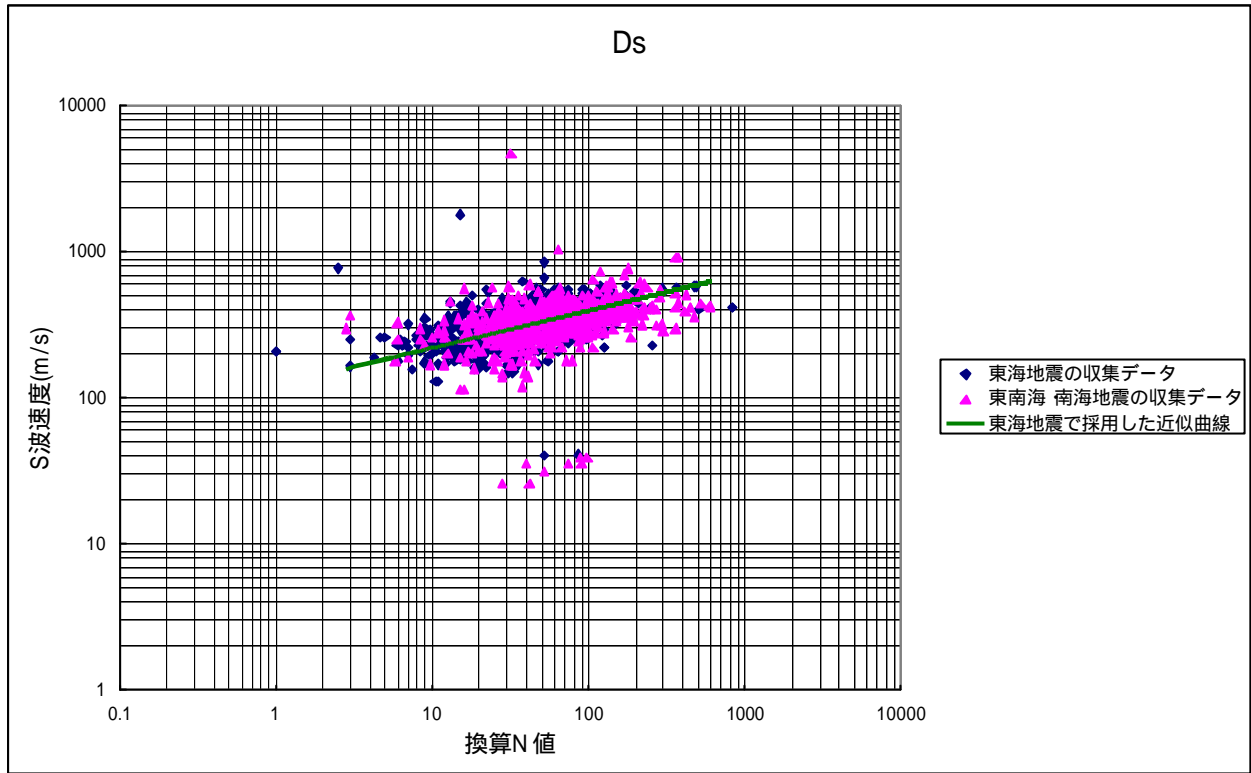


図 2 2 換算 N 値と S 波速度の関係 (その 3) Ds、Dg

東海地震で採用した近似曲線との比較

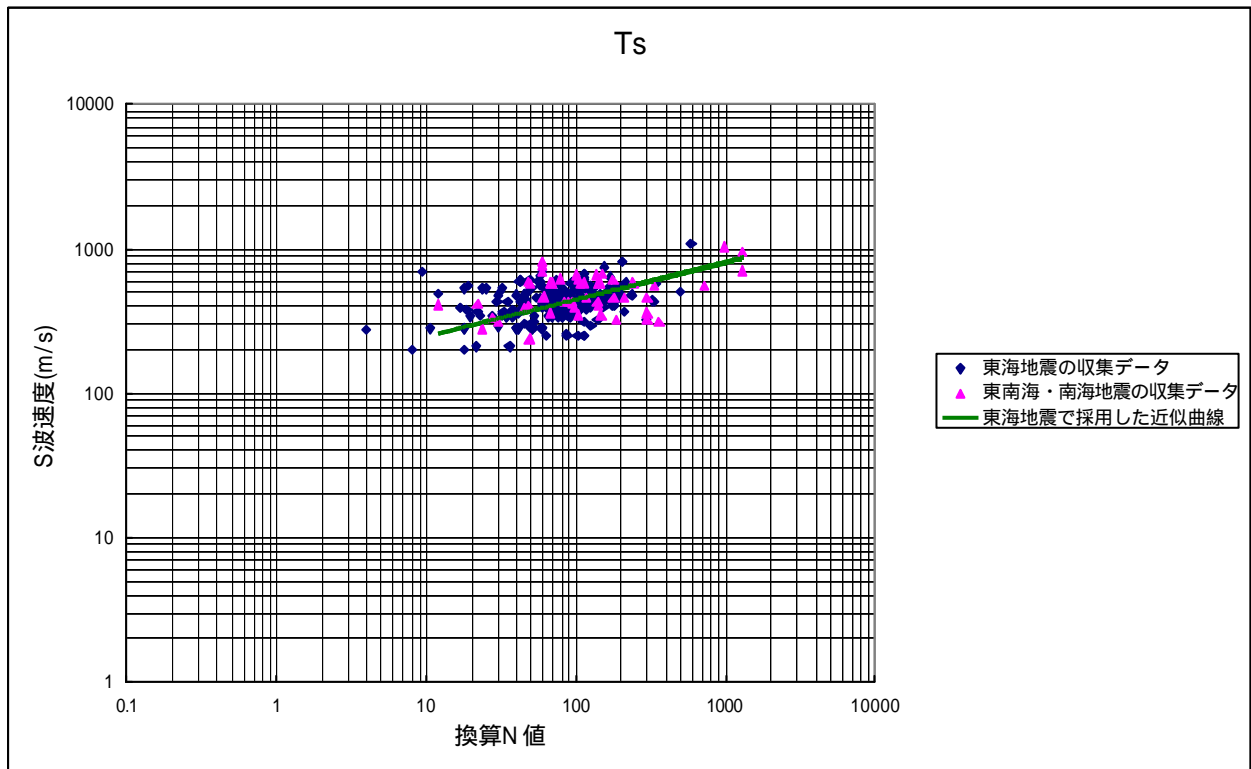
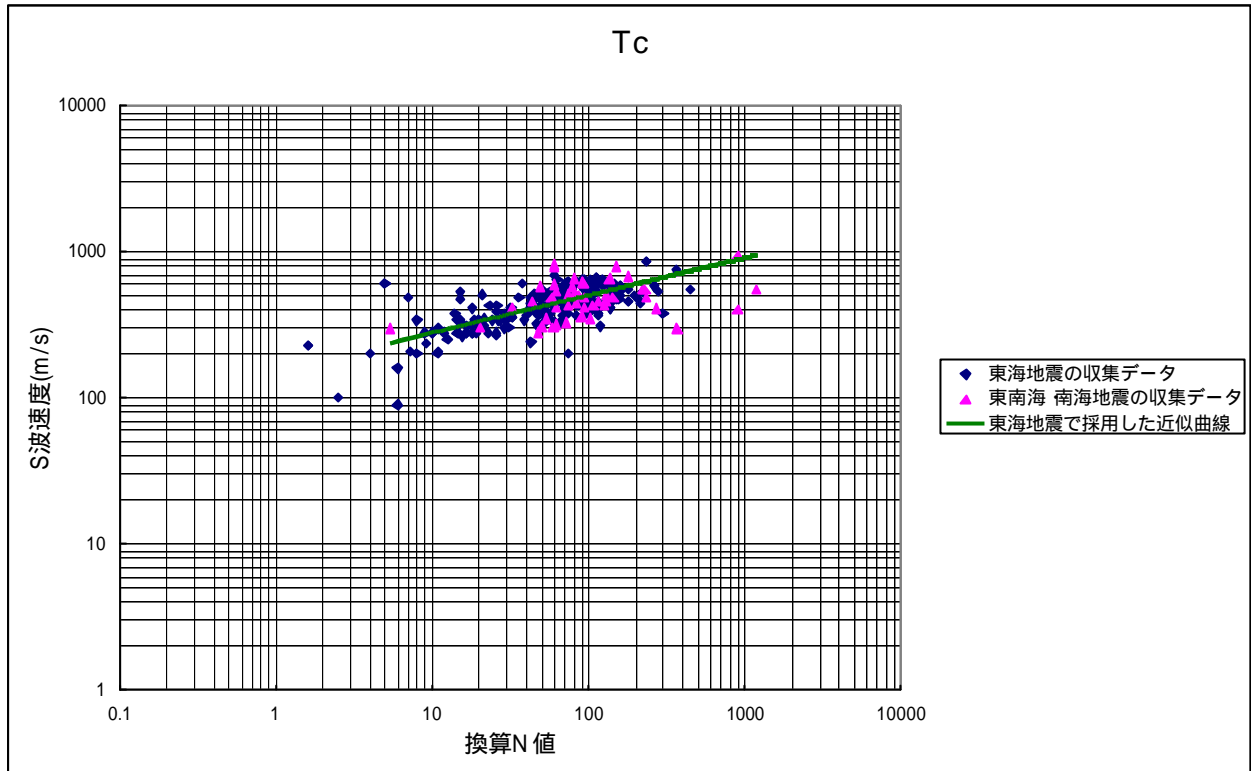


図 2 2 換算 N 値と S 波速度の関係 (その 4) Tc、Ts

東海地震で採用した近似曲線との比較

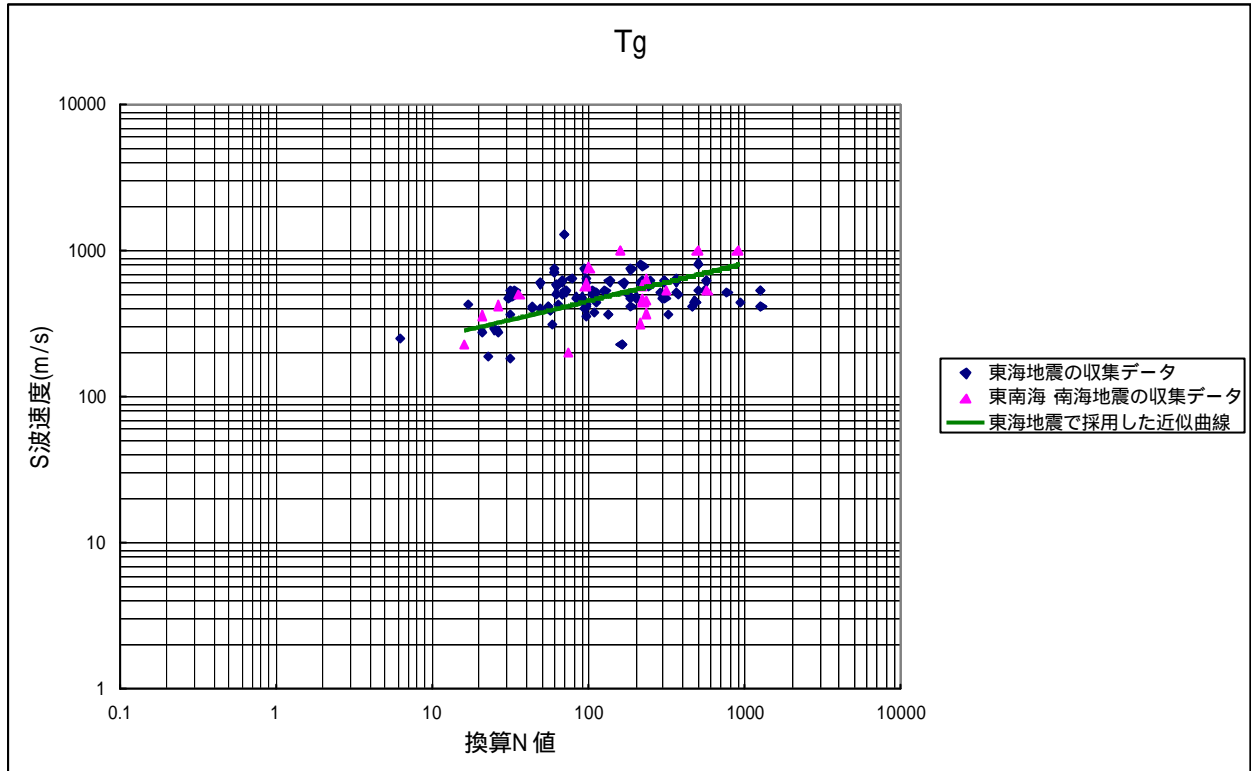


図 2 2 換算 N 値と S 波速度の関係 (その 5) Tg

S波速度0.7km/s相当層上面深度

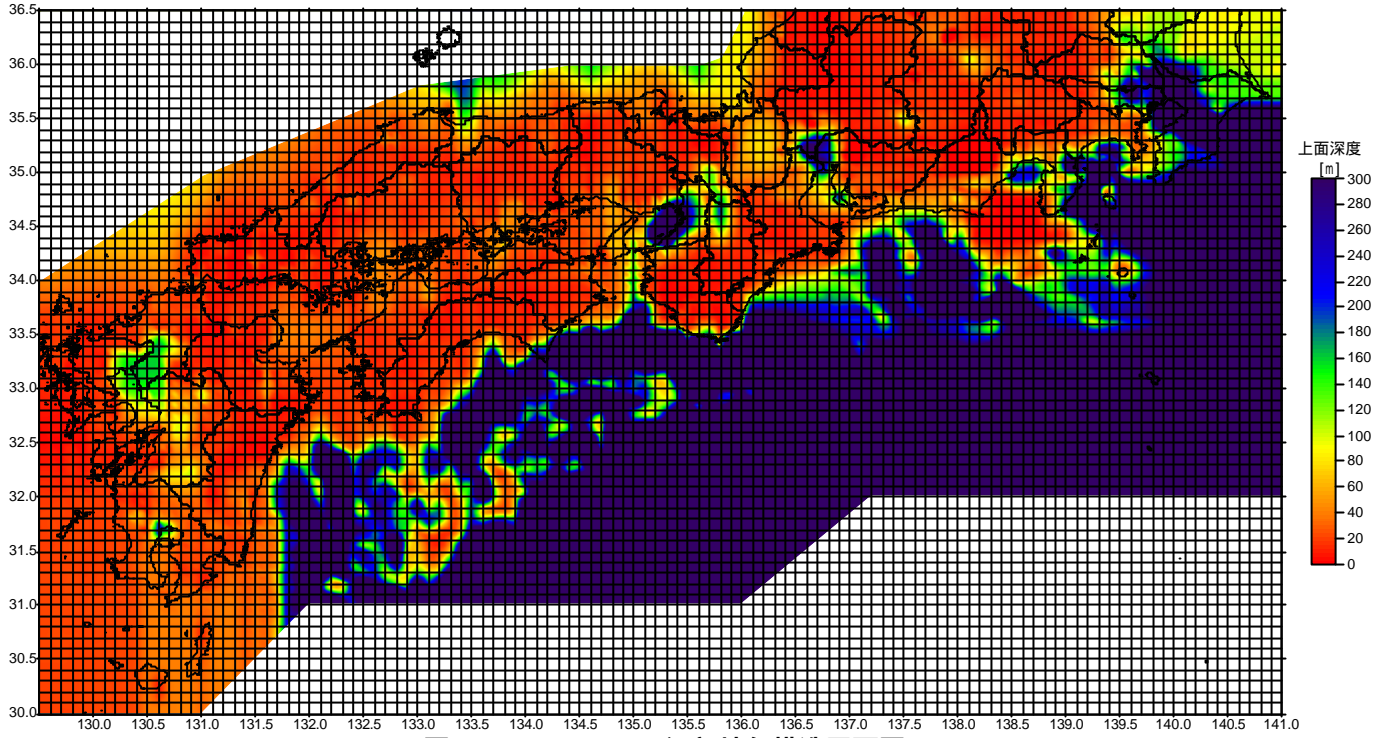


图 - 2 3 深部地盤構造平面図
S 波速度 0.7km/s 相当層上面深度

S波速度1.4km/s相当層上面深度

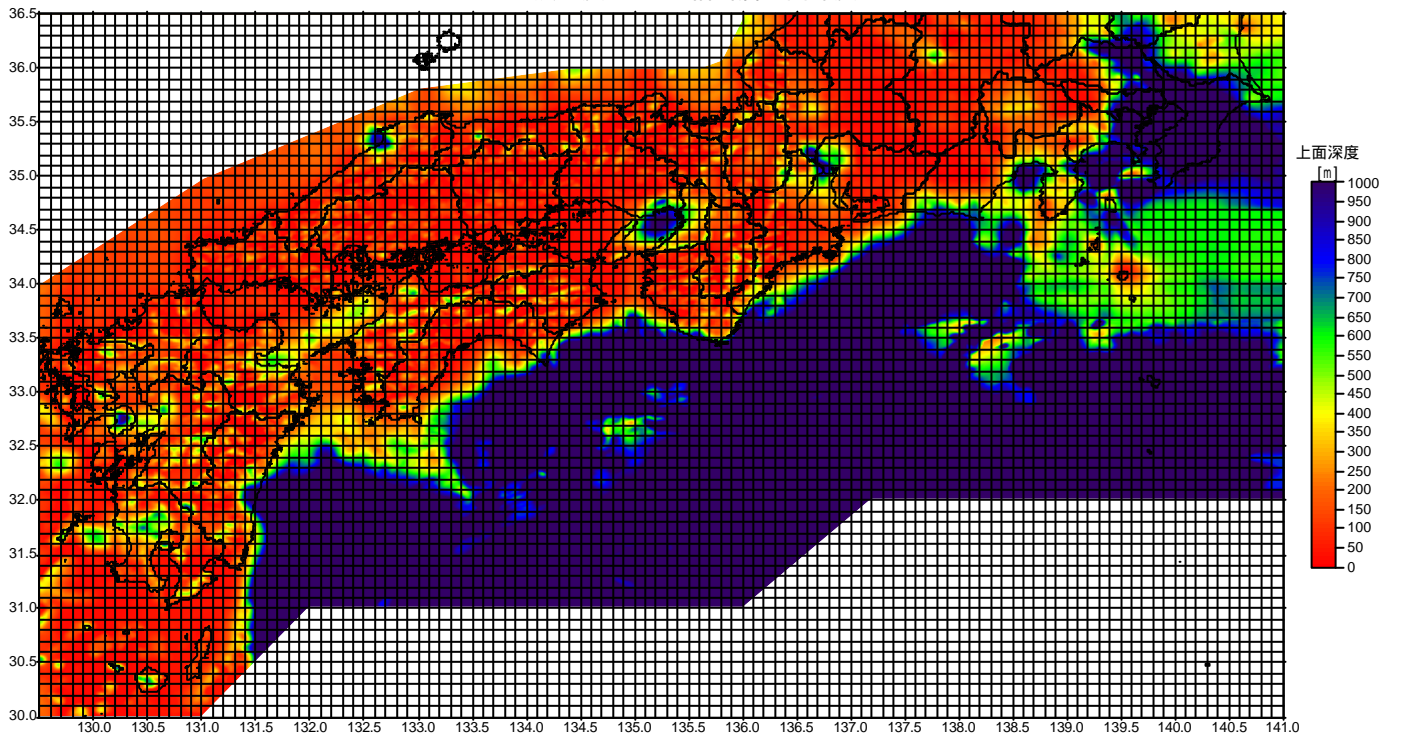


图 - 2 4 深部地盤構造平面図
S 波速度 1.4km/s 相当層上面深度

S波速度2.4km/s相当層上面深度

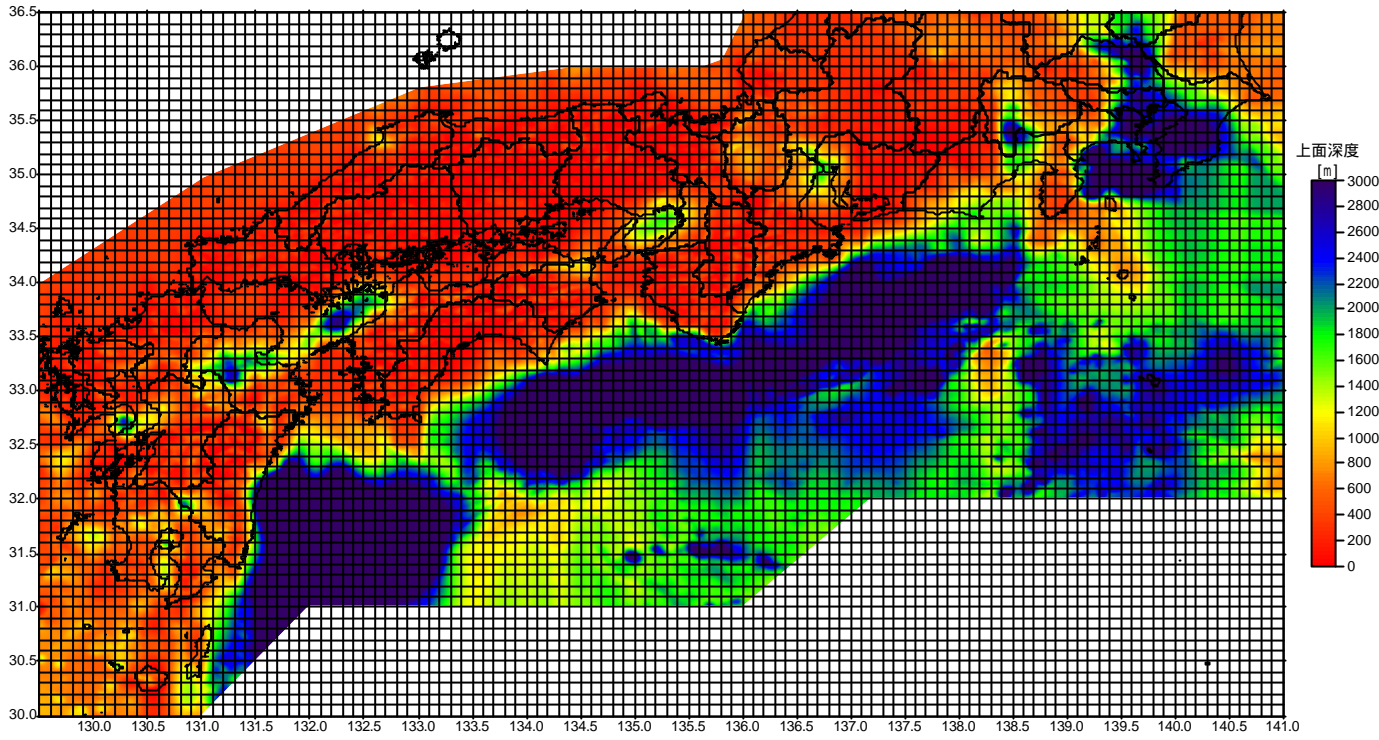


图 - 2 5 深部地盤構造平面図
S 波速度 2.4km/s 相当層上面深度

S波速度2.9km/s相当層上面深度

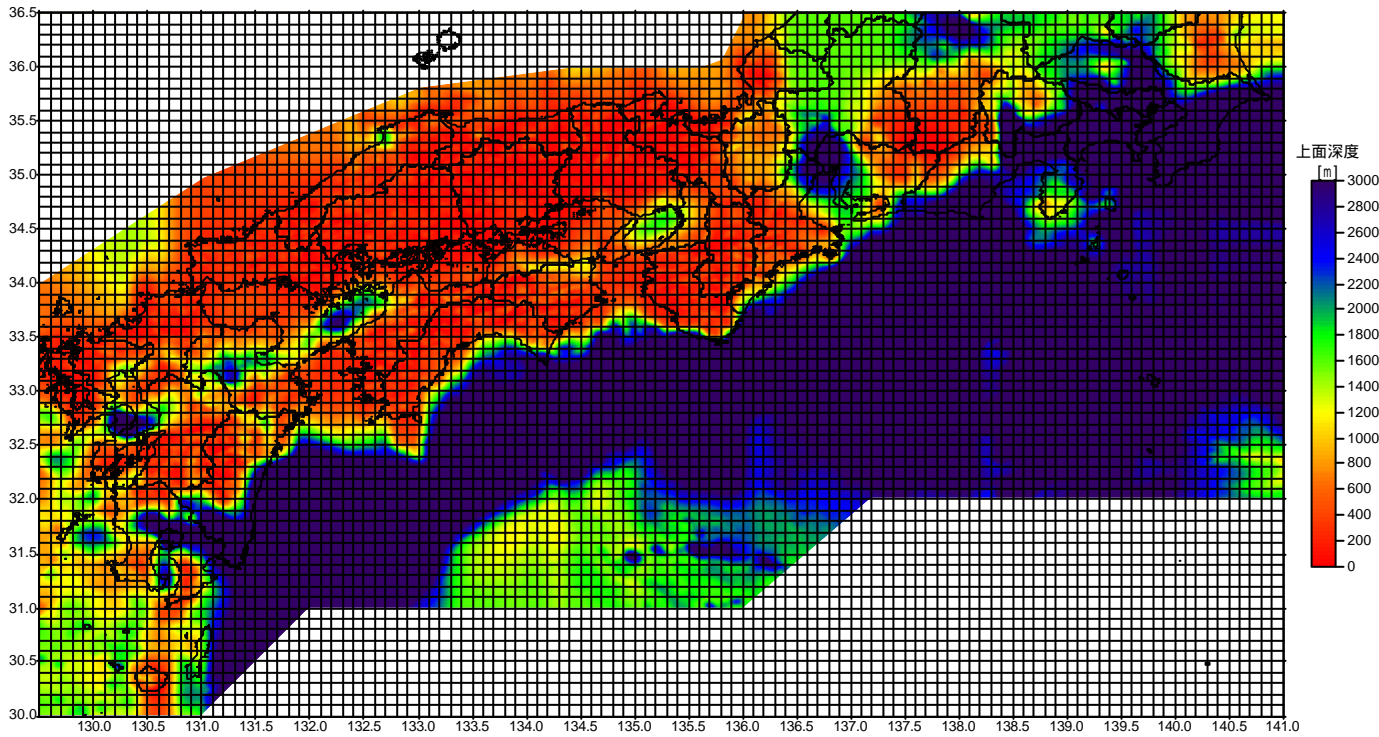


图 - 2 6 深部地盤構造平面図
S 波速度 2.9km/s 相当層上面深度

地表面および海底面

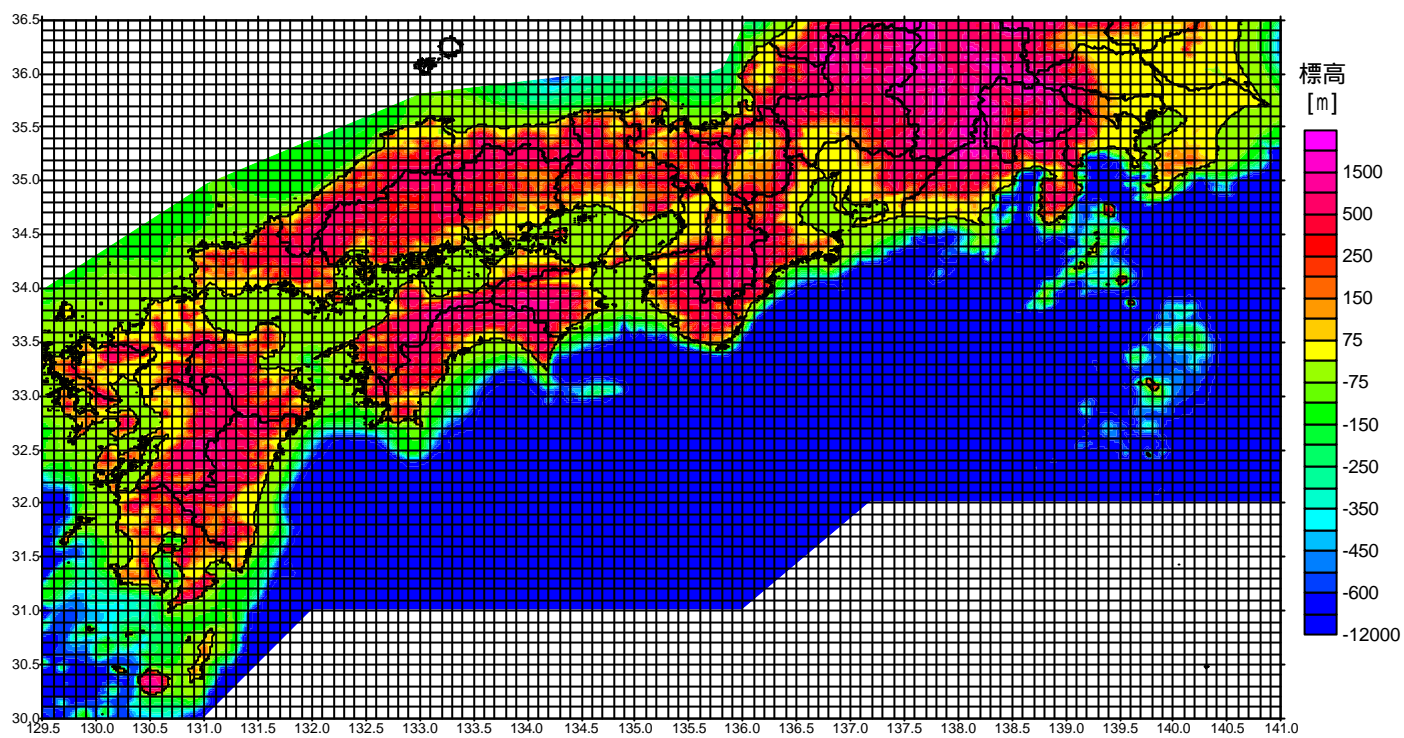


図 - 2 7 地表面及び海底面標高平面図

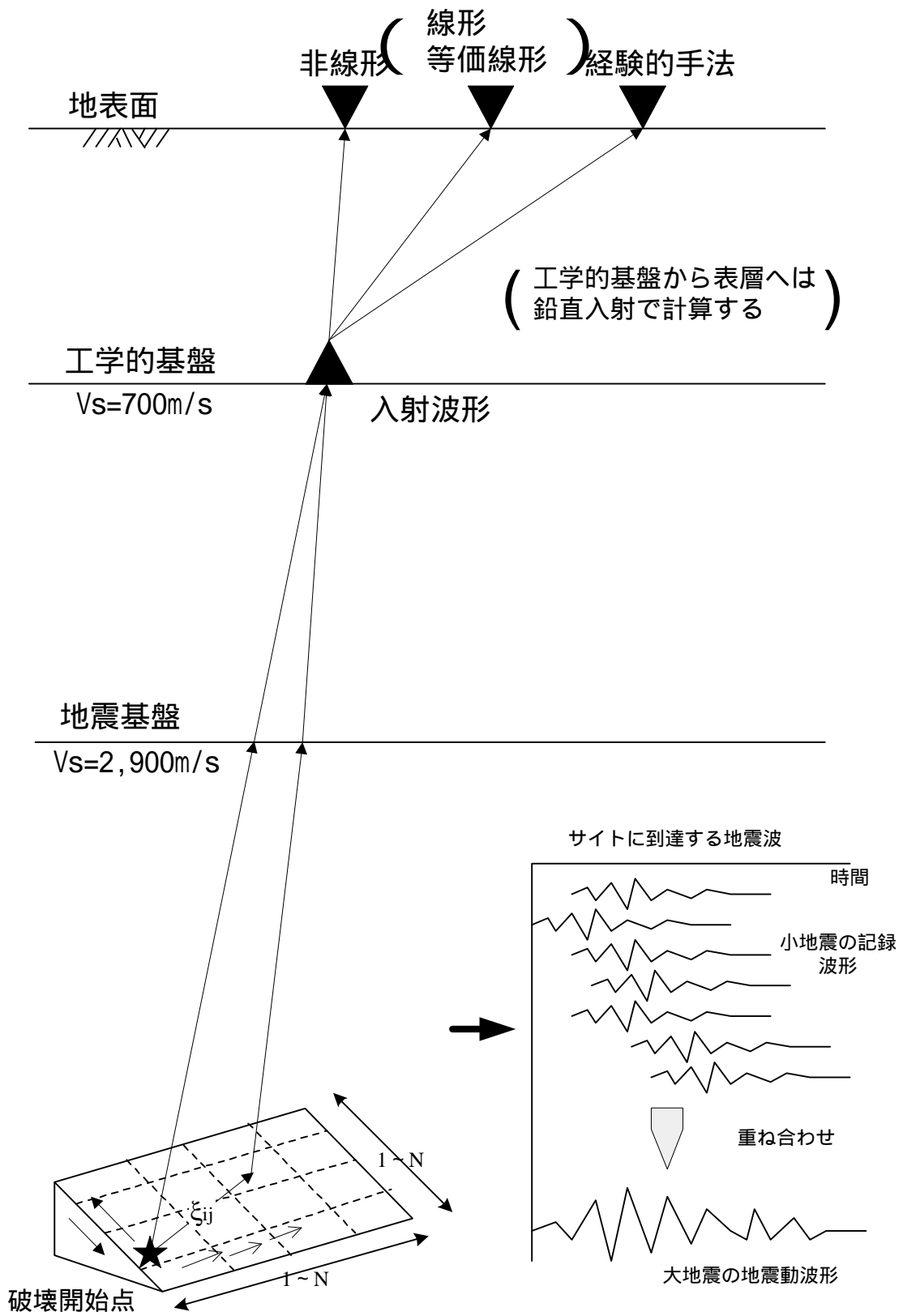
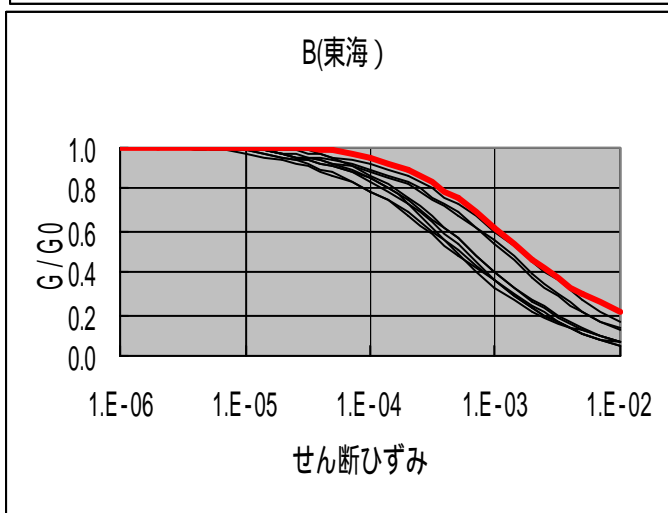
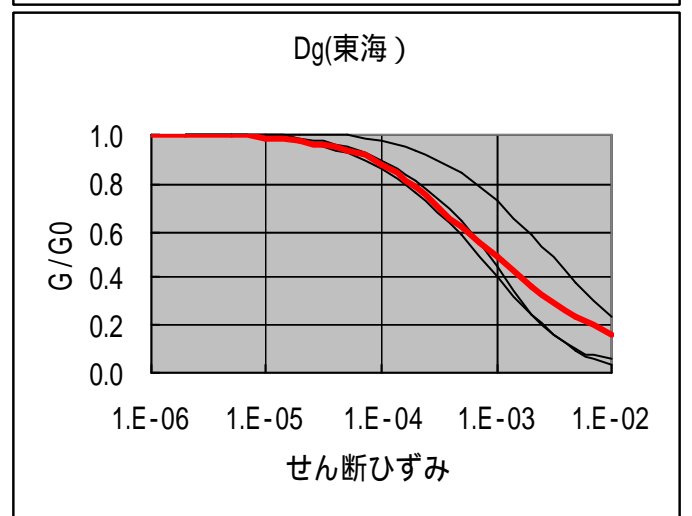
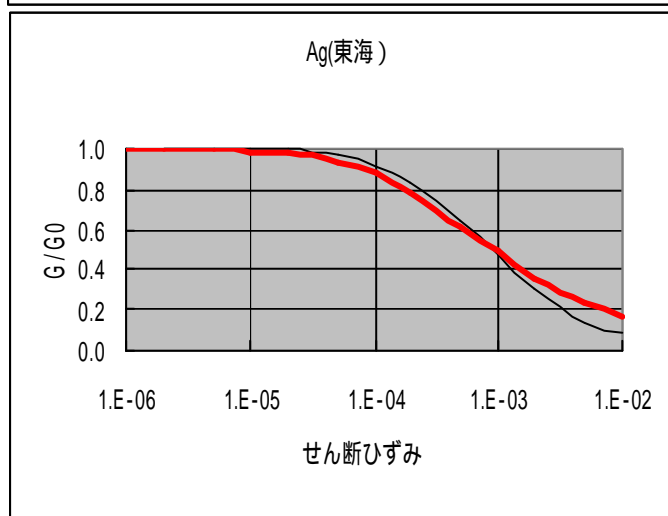
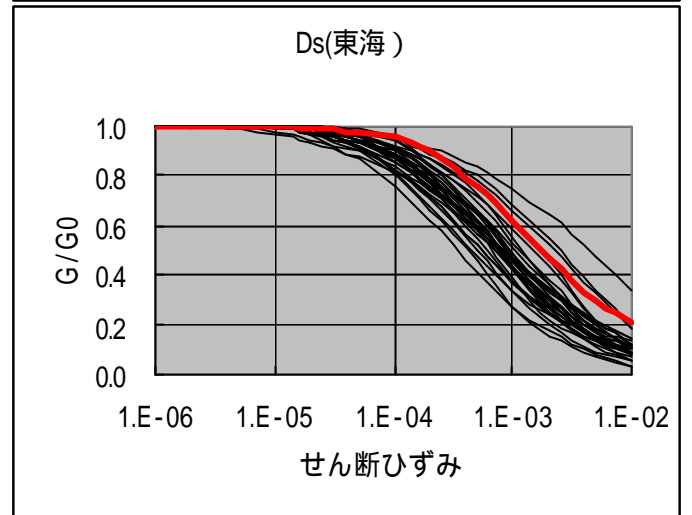
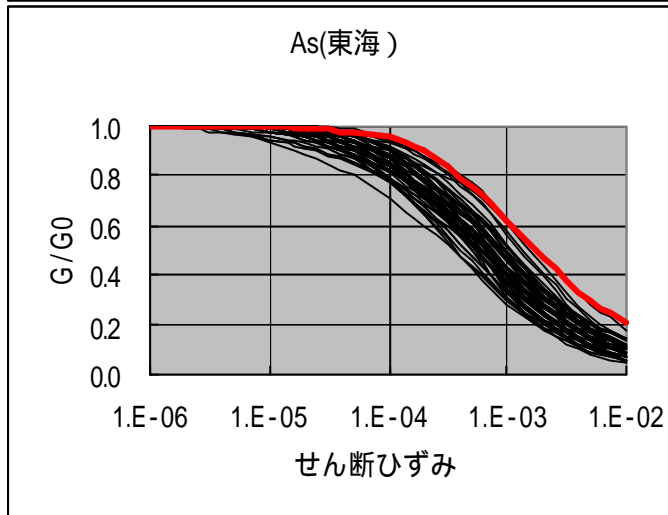
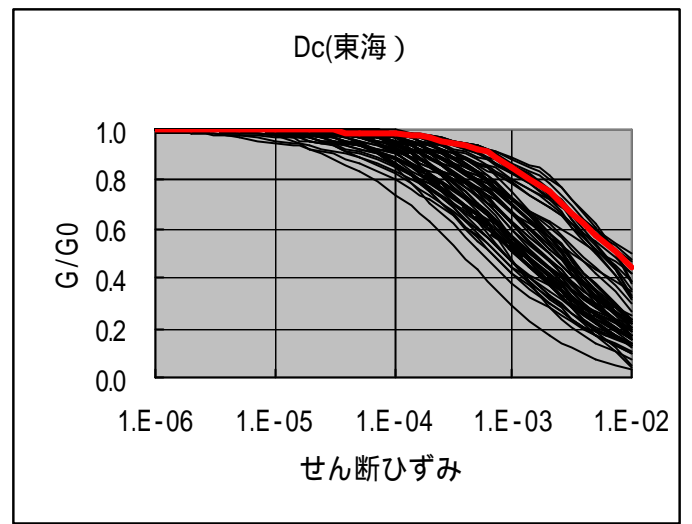
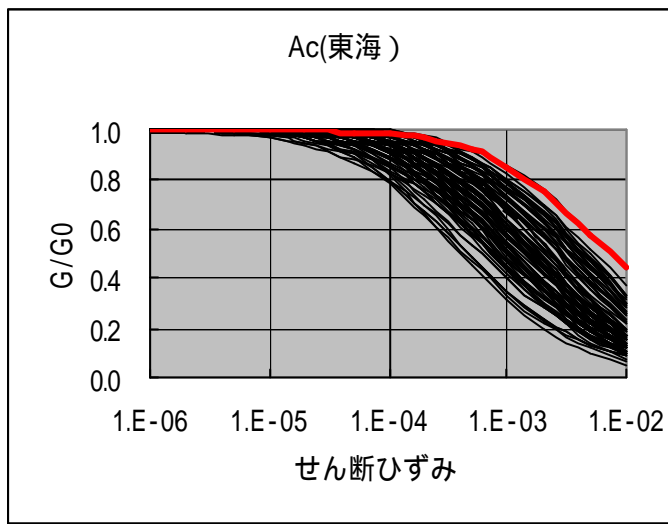
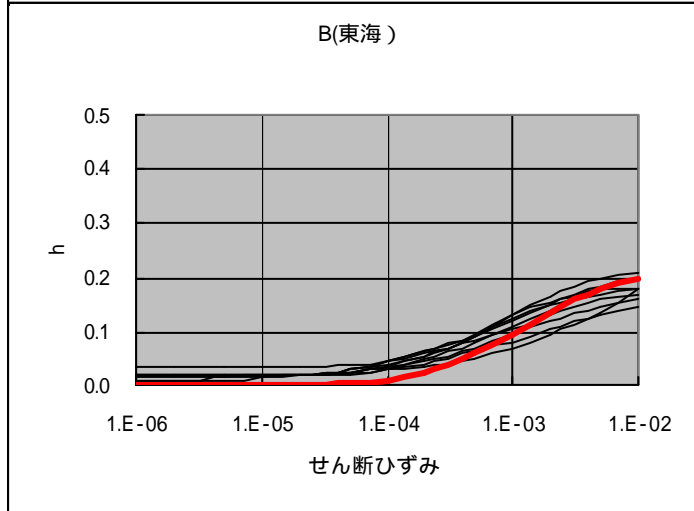
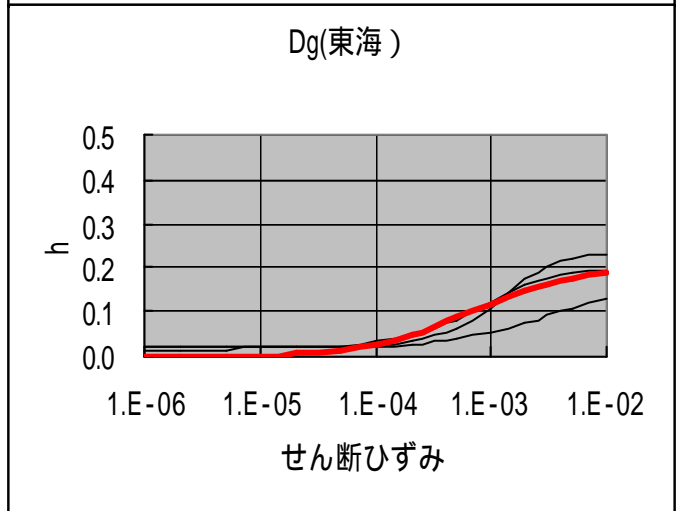
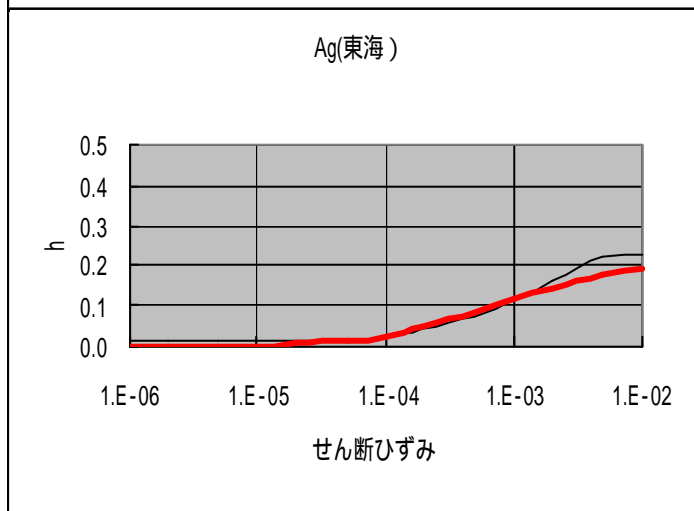
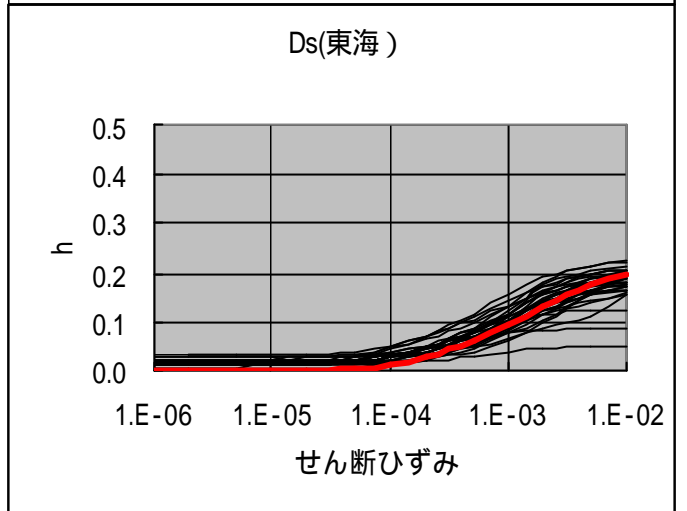
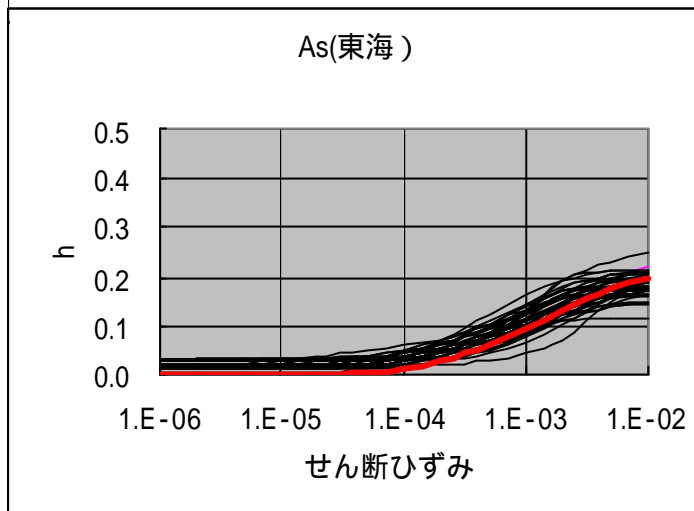
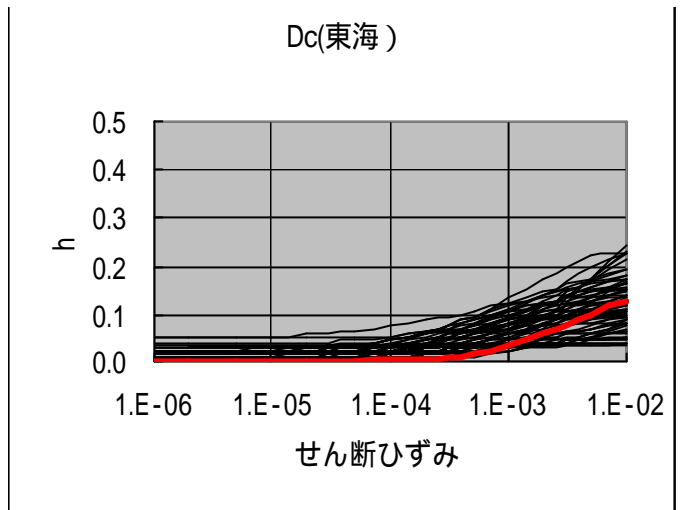
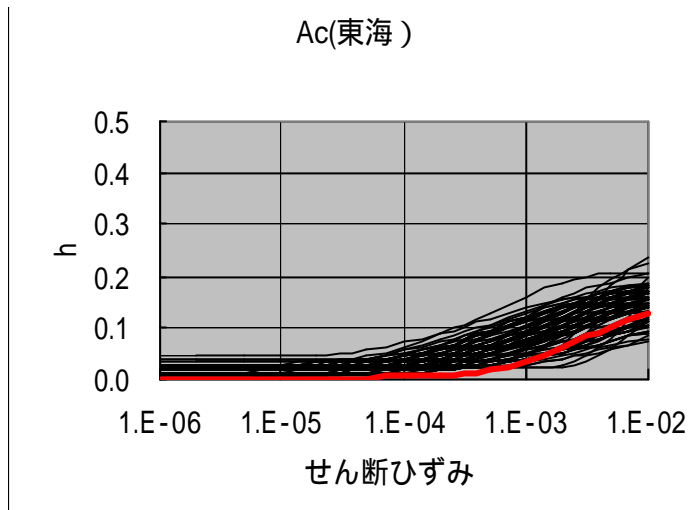


図-28 強震動波形計算の考え方



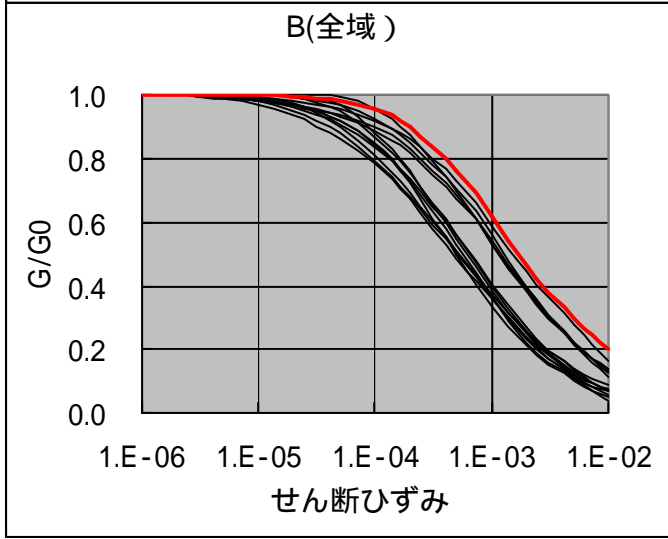
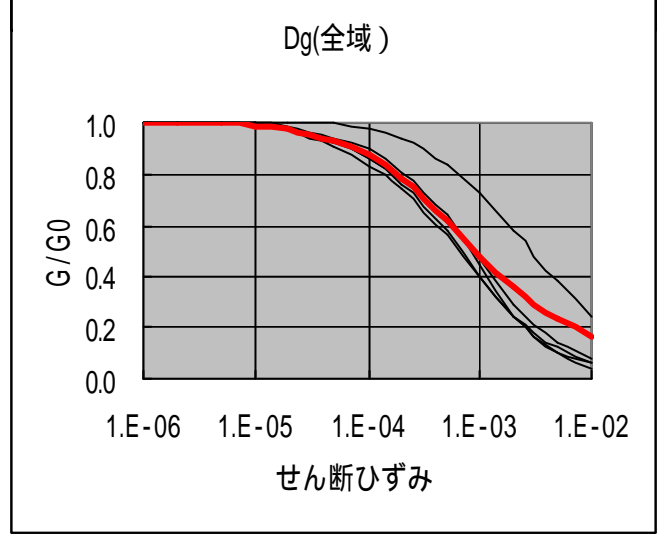
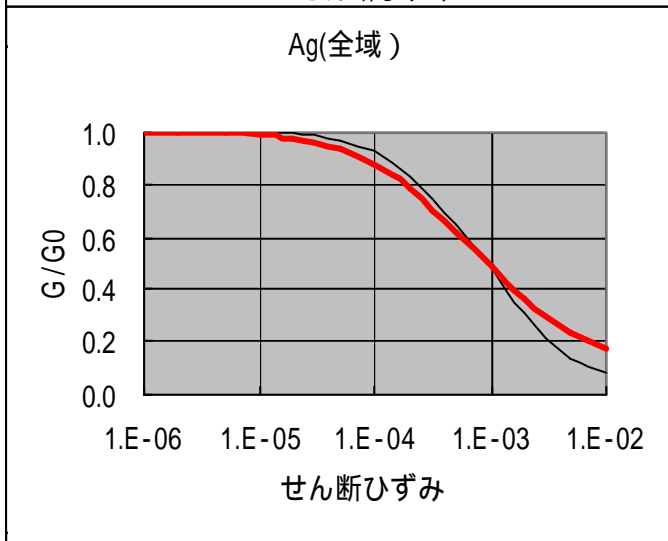
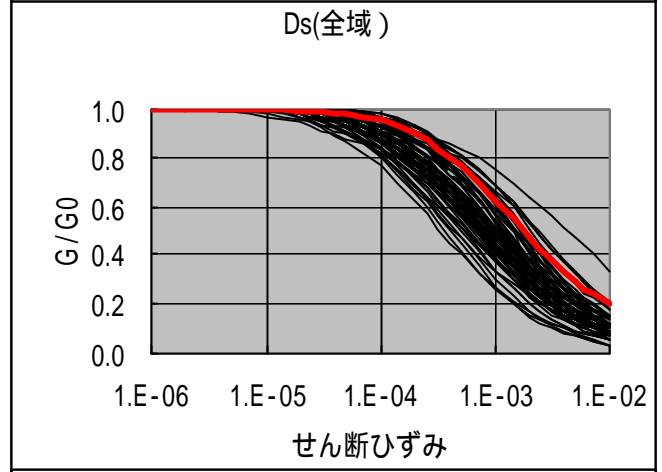
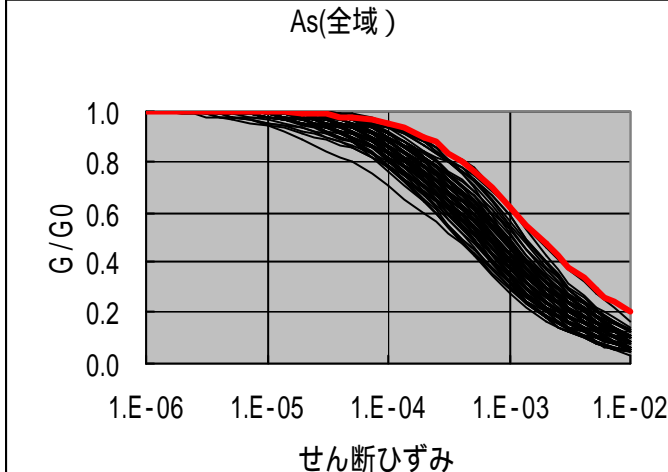
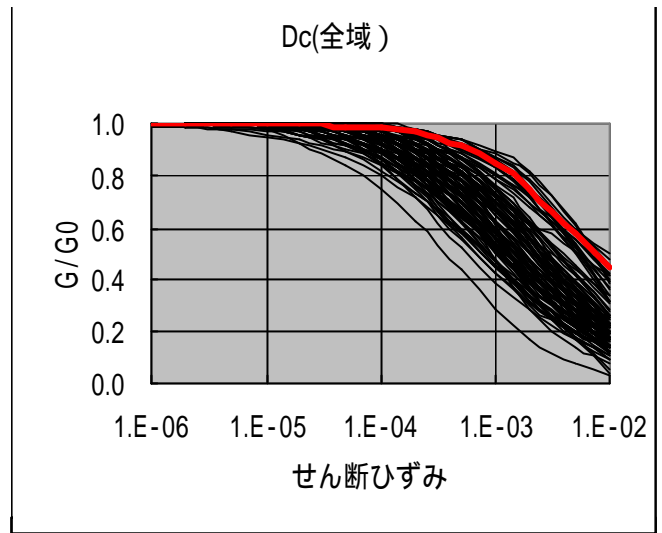
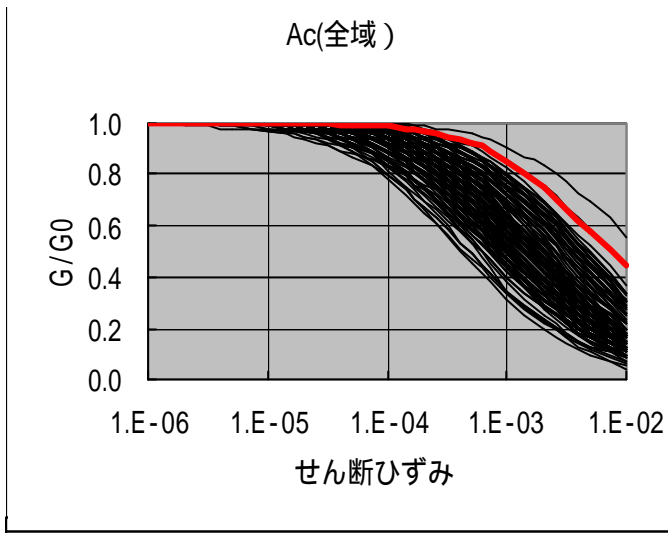
— : 「東海地震に関する専門調査会」
で採用した $G/G_0 \sim$ 曲線

図 - 29 収集した土質区分ごとの $G/G_0 \sim$ 曲線 (東海)



— : 「東海地震に関する専門調査会」
で採用した $h \sim$ 曲線

図 - 30 収集した土質区分ごとの $h \sim$ 曲線 (東海)



— : 「東海地震に関する専門調査会」
で採用した G/G_0 ~ 曲線

図 - 3 1 収集した土質区分ごとの G/G_0 ~ 曲線 (東南海、南海)

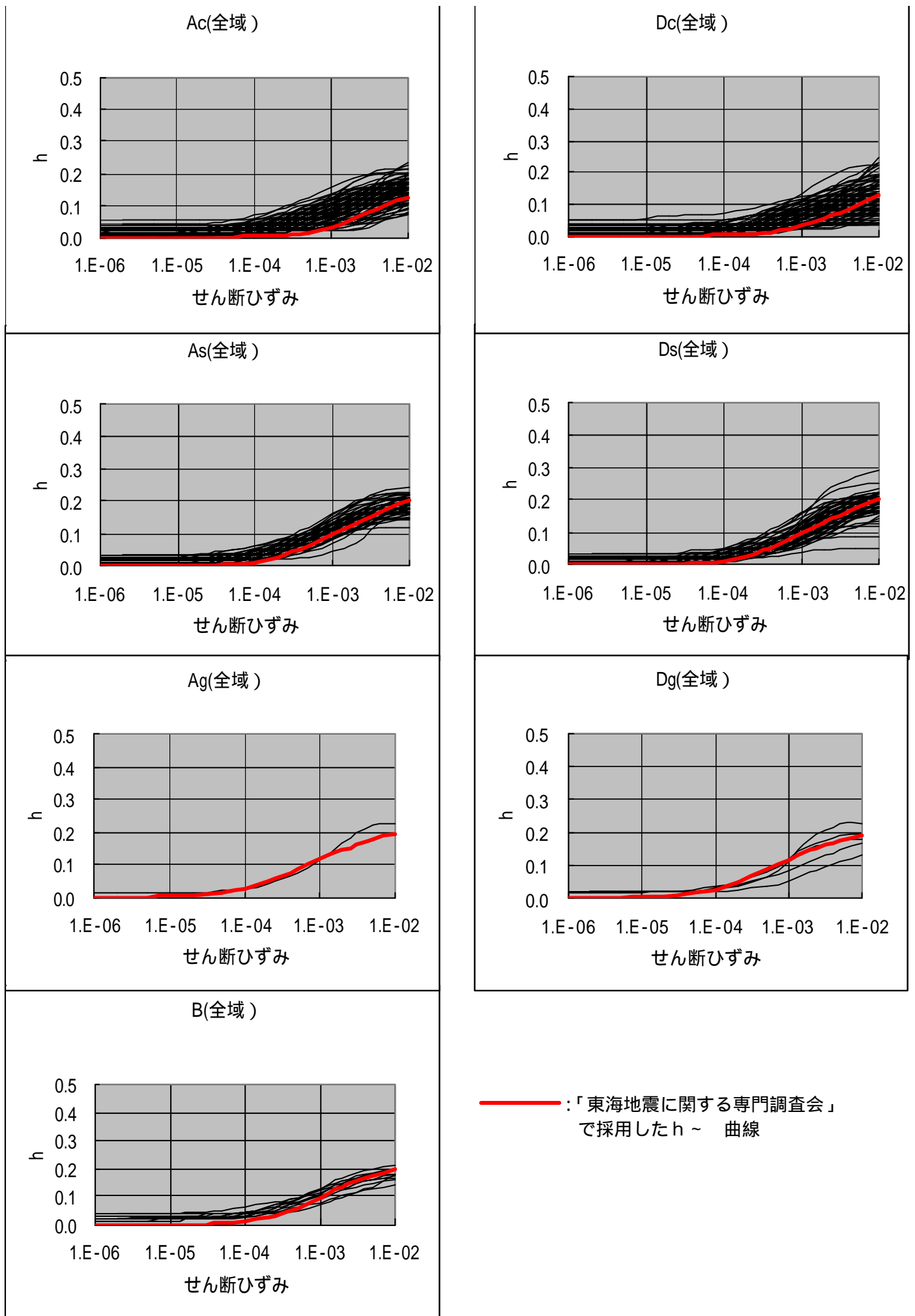


図 - 3 2 収集した土質区分ごとの $h \sim$ 曲線 (東南海、南海)

表 - 3 中央防災会議「東海地震に関する専門調査会」にて設定した土質区分と単位体積重量

地質区分	地質名	記号	N 値	単位体積重量 (kgf/cm ³)	
第四紀	埋土	B1	0 ~ 4	1.6	
		B2	4 ~ 10	1.7	
		B3	10 ~	2.0	
	腐植土	Ap1	0 ~ 1	1.2	
		Ap2	1 ~	1.3	
	粘性土	Ac1	0 ~ 2	1.4	
		Ac2	2 ~ 4	1.5	
		Ac3	4 ~ 8	1.6	
		Ac4	8 ~ 15	1.7	
		Ac5	15 ~ 30	1.8	
		Ac6	30 ~	1.8	
	砂質土	As1	0 ~ 4	1.7	
		As2	4 ~ 10	1.8	
		As3	10 ~ 30	1.9	
		As4	30 ~ 50	1.9	
		As5	50 ~	1.9	
	礫質土	Ag1	~ 20	1.9	
		Ag2	20 ~ 30	2.0	
		Ag3	30 ~ 50	2.0	
		Ag4	50 ~	2.1	
	更新世	ローム・凝灰質粘土	Lm1	0 ~ 4	1.4
			Lm2	4 ~	1.5
		粘性土	Dc1	0 ~ 2	1.5
			Dc2	2 ~ 4	1.6
			Dc3	4 ~ 8	1.7
			Dc4	8 ~ 15	1.8
			Dc5	15 ~ 30	1.8
			Dc6	30 ~	1.8
砂質土		Ds1	0 ~ 4	1.8	
		Ds2	4 ~ 10	1.8	
		Ds3	10 ~ 30	1.9	
		Ds4	30 ~ 50	1.9	
		Ds5	50 ~	2.0	
礫質土		Dg1	~ 20	1.9	
		Dg2	20 ~ 30	2.0	
		Dg3	30 ~ 50	2.0	
	Dg4	50 ~	2.1		
第三紀		K		2.1	